

OBRAZOVÁ PŘÍLOHA

k
rozptylové studii

D3 0304,
úsek Václavice - Voračice

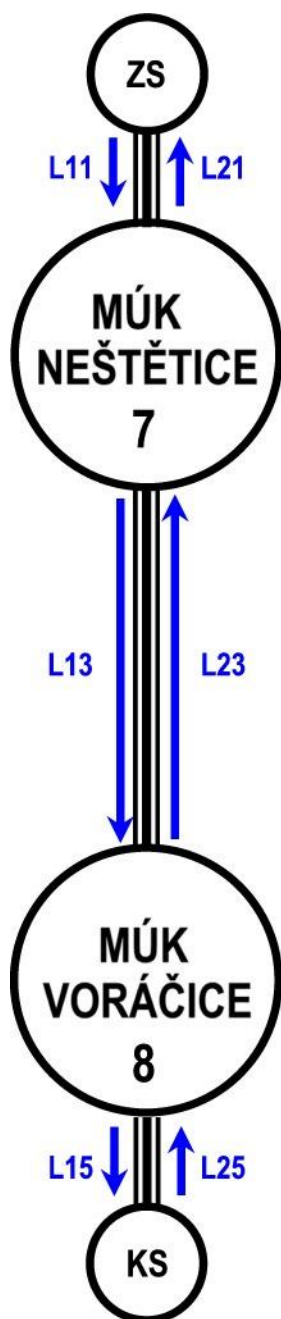
Seznam obrázků

Obr.č.1 Situace umístění záměru	4
Obr.č.2 Znázornění liniových zdrojů	5
Obr.č. 3 Označení vybraných čtverců 1x1 km mapy úrovní znečištění ČHMÚ s vyznačením umístění záměru.	6
Obr.č. 4 Označení vybraných čtverců 1x1 km mapy úrovní znečištění ČHMÚ s vyznačením umístění záměru.	7
Obr.č.5 Zobrazení celkové větrné růžice pro oblast MÚK Neštětice	8
Obr.č.6 Zobrazení celkové větrné růžice pro oblast MÚK Voráčice	8
Obr.č.7 Příspěvky průměrných ročních koncentrací (IHr) NO ₂ v µg.m ⁻³	9
Obr.č.8 Příspěvky průměrných ročních koncentrací (IHr) NO ₂ v µg.m ⁻³	10
Obr.č. 9 Příspěvky průměrných ročních koncentrací (IHr) NO ₂ v µg.m ⁻³	11
Obr.č. 10 Příspěvky průměrných ročních koncentrací (IHr) NO ₂ v µg.m ⁻³	12
Obr.č. 11 Příspěvky průměrných ročních koncentrací (IHr) NO ₂ v µg.m ⁻³	13
Obr.č.12 Příspěvky průměrných ročních koncentrací (IHr) PM ₁₀ v µg.m ⁻³	14
Obr.č.13 Příspěvky průměrných ročních koncentrací (IHr) PM ₁₀ v µg.m ⁻³	15
Obr.č.14 Příspěvky průměrných ročních koncentrací (IHr) PM ₁₀ v µg.m ⁻³	16
Obr.č.15 Příspěvky průměrných ročních koncentrací (IHr) PM ₁₀ v µg.m ⁻³	17
Obr.č.16 Příspěvky průměrných ročních koncentrací (IHr) PM ₁₀ v µg.m ⁻³	18
Obr.č.17 Příspěvky průměrných ročních koncentrací (IHr) PM _{2,5} v µg.m ⁻³	19
Obr.č.18 Příspěvky průměrných ročních koncentrací (IHr) PM _{2,5} v µg.m ⁻³	20
Obr.č.19 Příspěvky průměrných ročních koncentrací (IHr) PM _{2,5} v µg.m ⁻³	21
Obr.č.20 Příspěvky průměrných ročních koncentrací (IHr) PM _{2,5} v µg.m ⁻³	22
Obr.č.21 Příspěvky průměrných ročních koncentrací (IHr) PM _{2,5} v µg.m ⁻³	23
Obr.č. 22 Příspěvky průměrných ročních koncentrací (IHr) BZN v µg.m ⁻³	24
Obr.č. 23 Příspěvky průměrných ročních koncentrací (IHr) BZN v µg.m ⁻³	25
Obr.č. 24 Příspěvky průměrných ročních koncentrací (IHr) BZN v µg.m ⁻³	26
Obr.č. 25 Příspěvky průměrných ročních koncentrací (IHr) BZN v µg.m ⁻³	27
Obr.č. 26 Příspěvky průměrných ročních koncentrací (IHr) BZN v µg.m ⁻³	28
Obr.č.27 Příspěvky průměrných ročních koncentrací (IHr) BaP v µg.m ⁻³	29
Obr.č.28 Příspěvky průměrných ročních koncentrací (IHr) BaP v µg.m ⁻³	30
Obr.č.29 Příspěvky průměrných ročních koncentrací (IHr) BaP v µg.m ⁻³	31

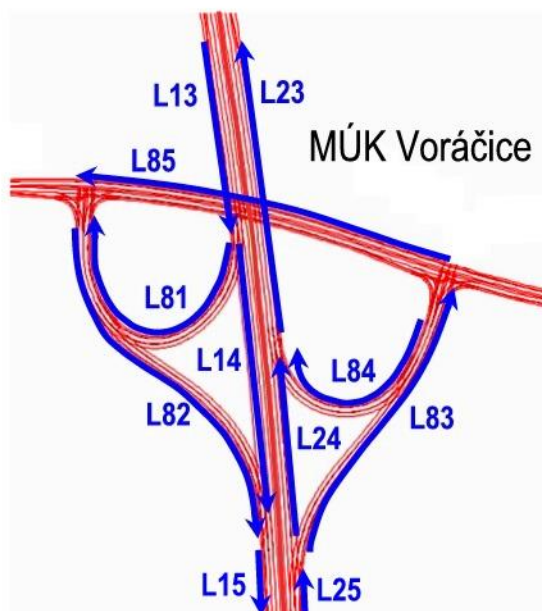
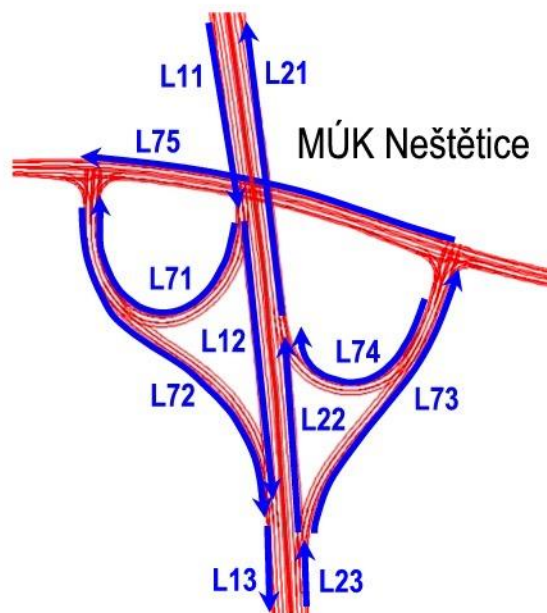
Obr.č.30 Příspěvky průměrných ročních koncentrací (IHr) BaP v $\mu\text{g.m}^{-3}$	32
Obr.č.31 Příspěvky průměrných ročních koncentrací (IHr) BaP v $\mu\text{g.m}^{-3}$	33
Obr.č.32 Příspěvky maximálních hodinových koncentrací (IHk) NO_2 v $\mu\text{g.m}^{-3}$	34
Obr.č.33 Příspěvky maximálních hodinových koncentrací (IHk) NO_2 v $\mu\text{g.m}^{-3}$	35
Obr.č.34 Příspěvky maximálních hodinových koncentrací (IHk) NO_2 v $\mu\text{g.m}^{-3}$	36
Obr.č.35 Příspěvky maximálních hodinových koncentrací (IHk) NO_2 v $\mu\text{g.m}^{-3}$	37
Obr.č.36 Příspěvky maximálních hodinových koncentrací (IHk) NO_2 v $\mu\text{g.m}^{-3}$	38
Obr.č. 37 Příspěvky maximálních denních koncentrací (IH24) PM_{10} v $\mu\text{g.m}^{-3}$	39
Obr.č. 38 Příspěvky maximálních denních koncentrací (IH24) PM_{10} v $\mu\text{g.m}^{-3}$	40
Obr.č. 39 Příspěvky maximálních denních koncentrací (IH24) PM_{10} v $\mu\text{g.m}^{-3}$	41
Obr.č. 40 Příspěvky maximálních denních koncentrací (IH24) PM_{10} v $\mu\text{g.m}^{-3}$	42
Obr.č. 41 Příspěvky maximálních denních koncentrací (IH24) PM_{10} v $\mu\text{g.m}^{-3}$	43



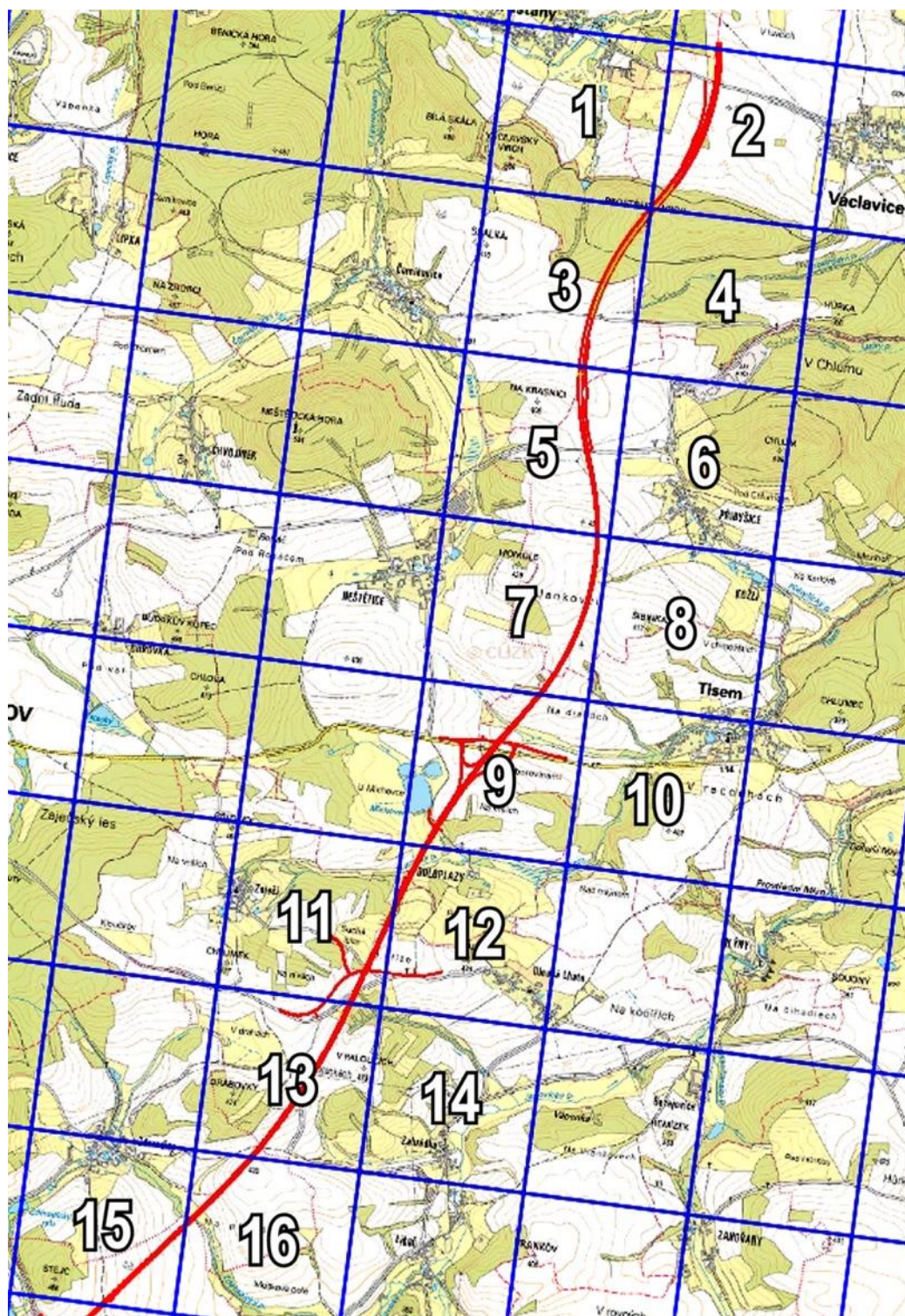
Obr.č.1 Situace umístění záměru



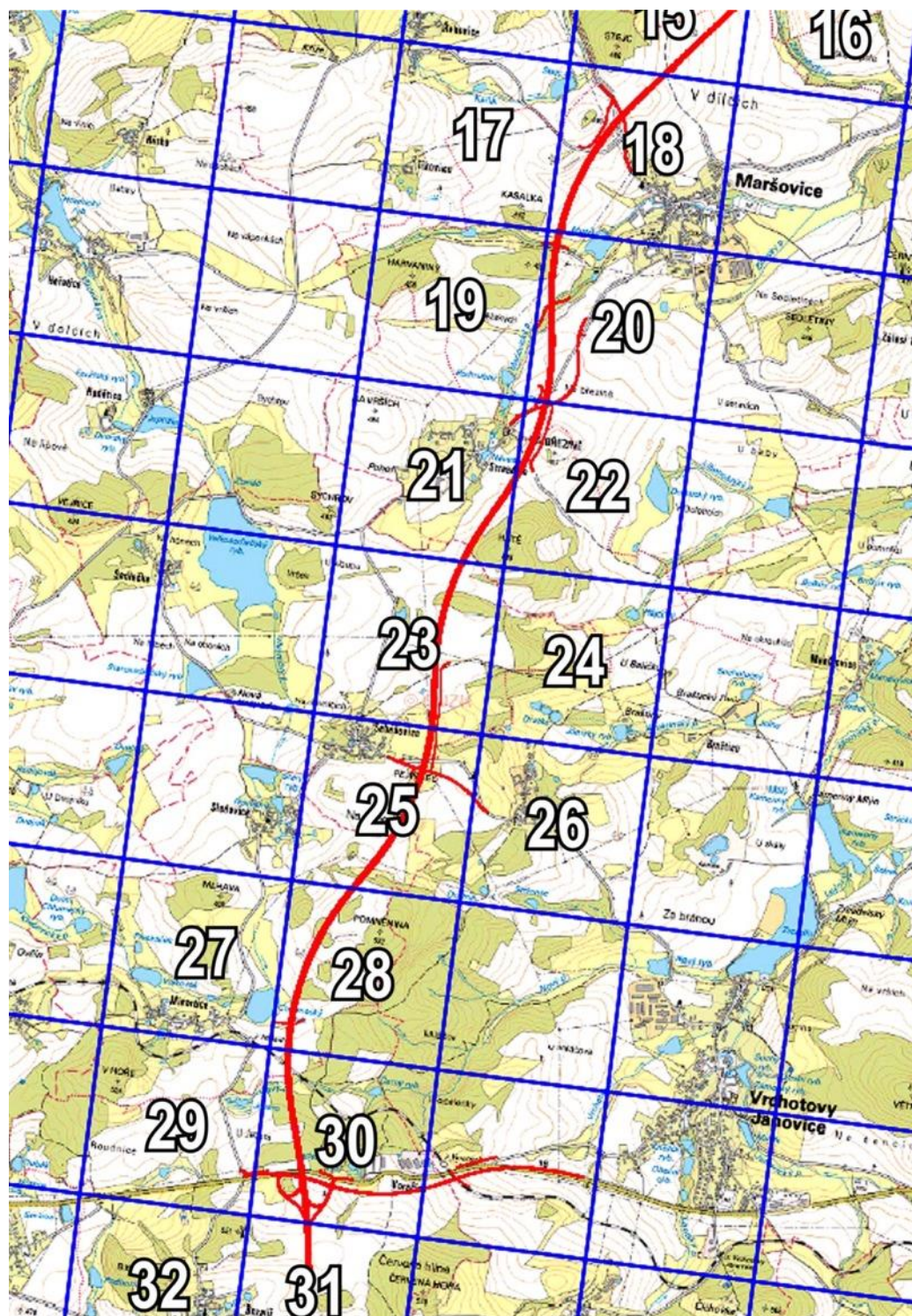
ZS - začátek stavby
KS - konec stavby



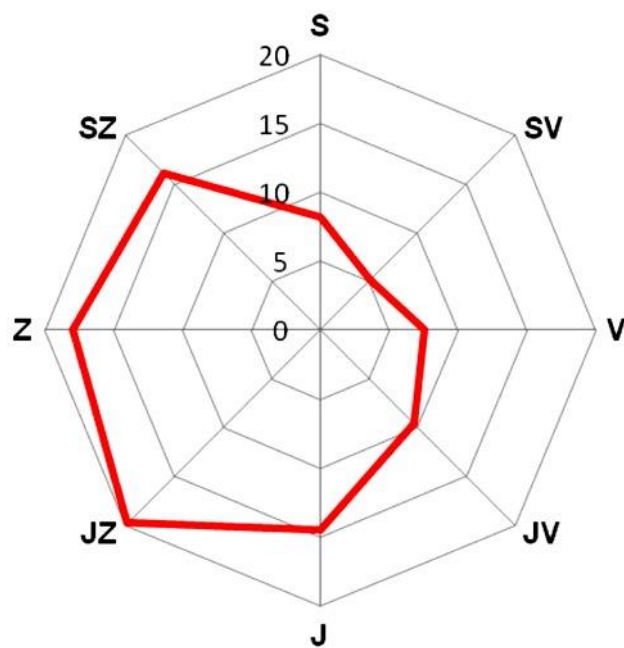
Obr.č.2 Znázornění liniových zdrojů



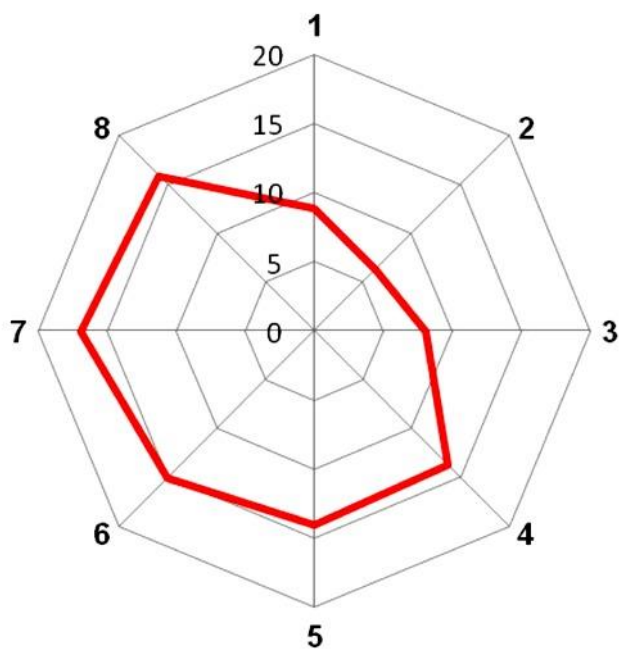
Obnr.č. 3 Označení vybraných čtverců 1x1 km mapy úrovní znečištění ČHMÚ s vyznačením umístění záměru.



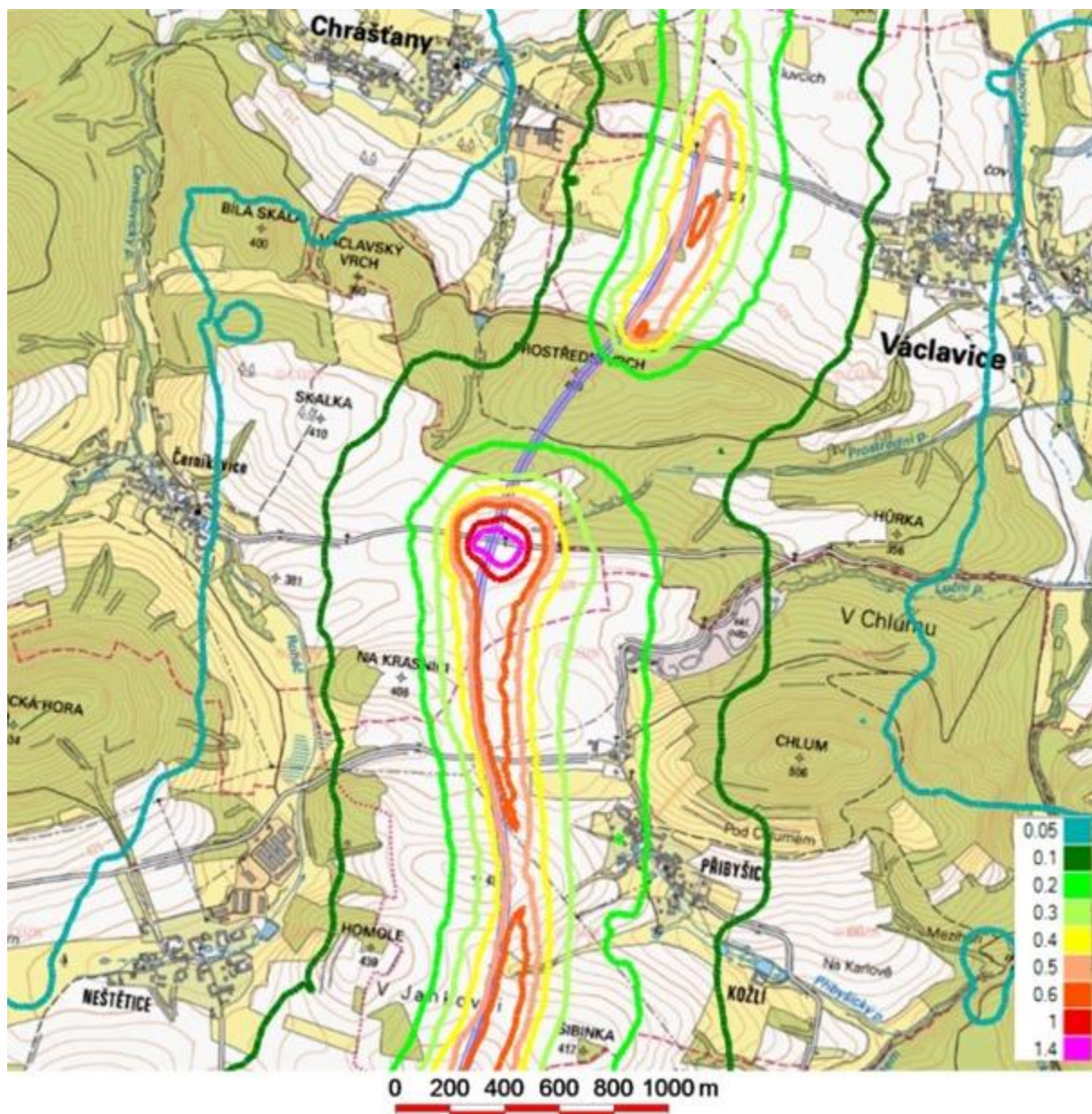
Obnr.č. 4 Označení vybraných čtverců 1x1 km mapy úrovní znečištění ČHMÚ s vyznačením umístění záměru.



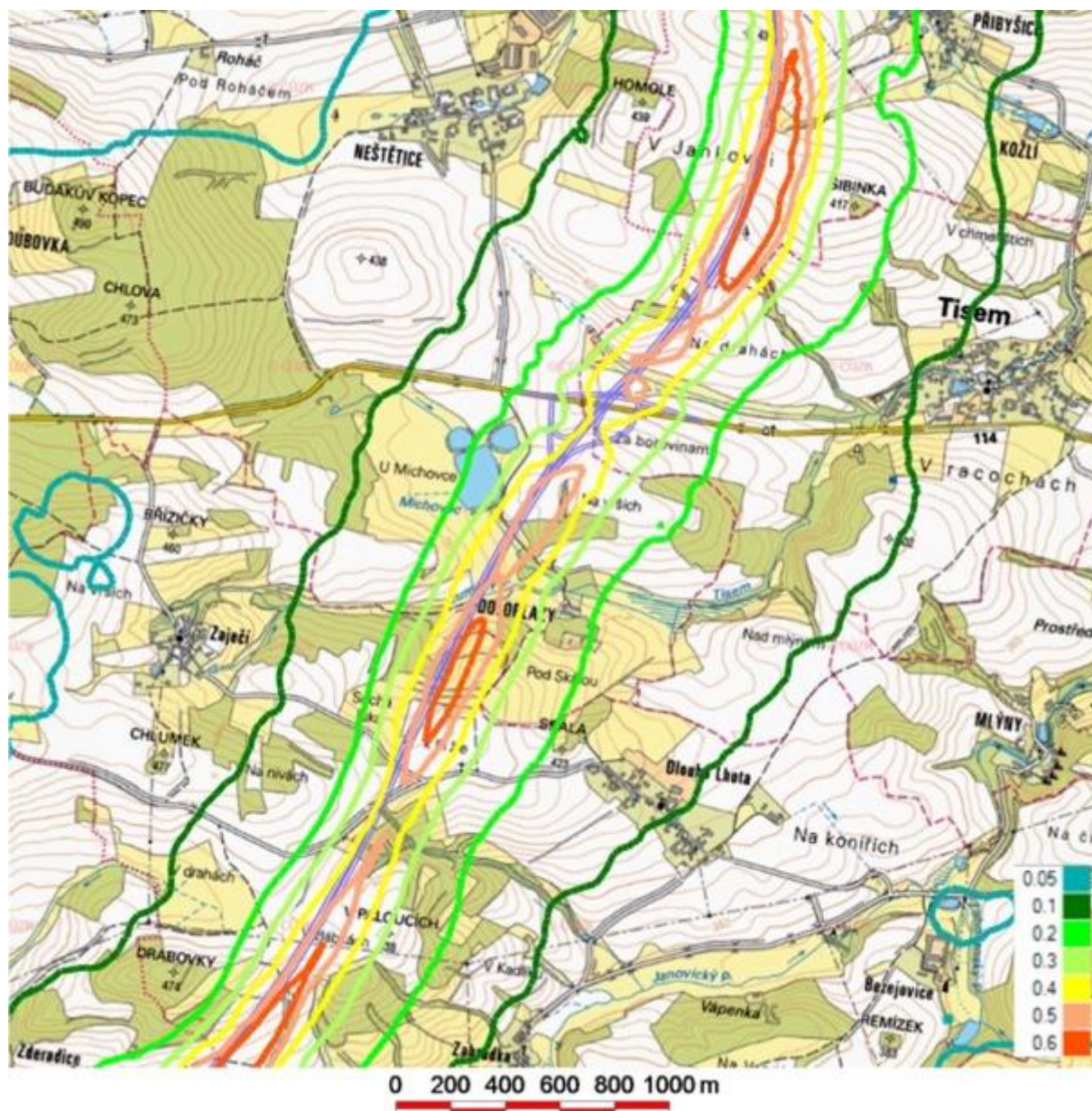
Obr.č.5 Zobrazení celkové větrné růžice pro oblast MÚK Neštětice



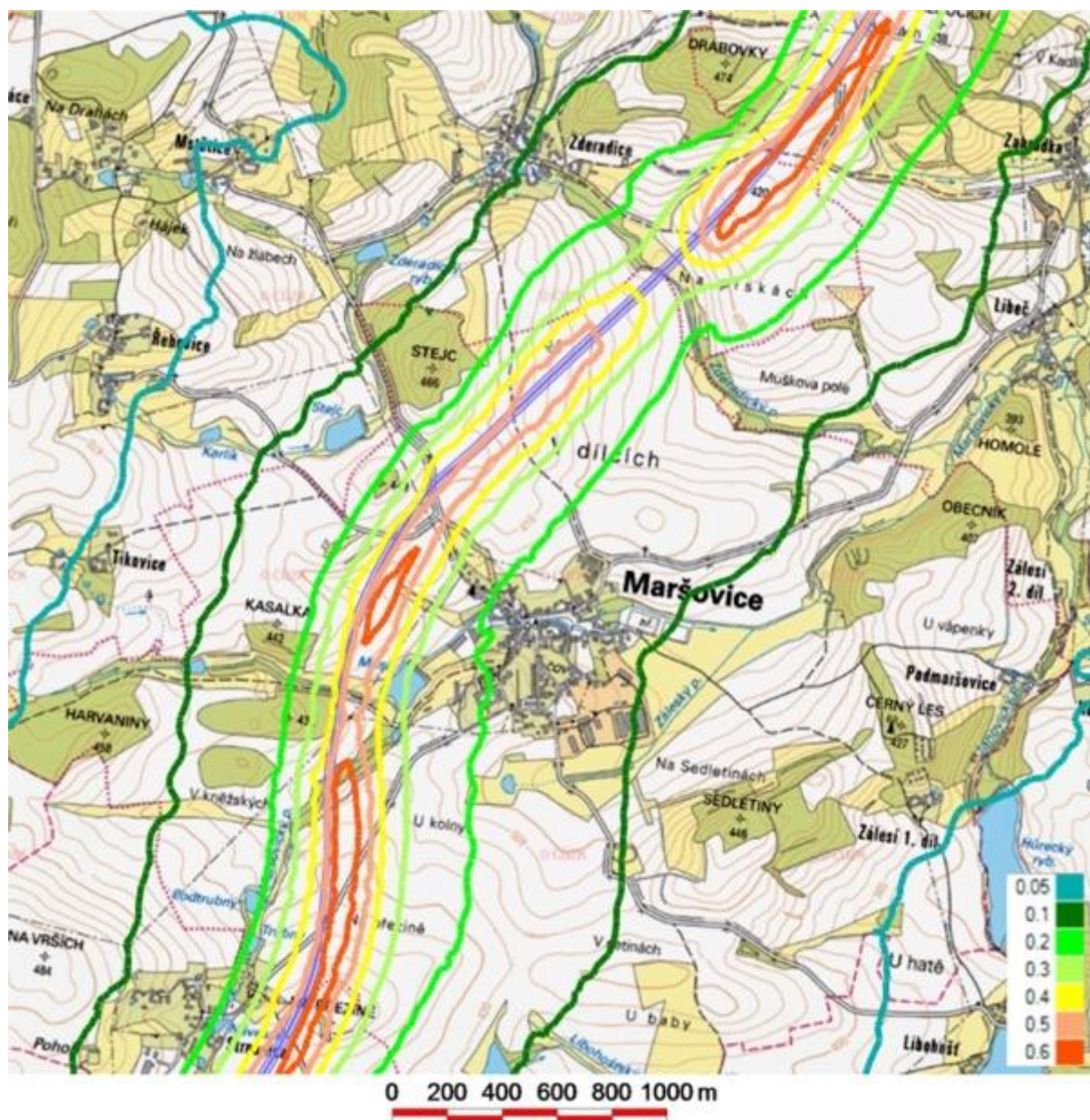
Obr.č.6 Zobrazení celkové větrné růžice pro oblast MÚK Voráčice



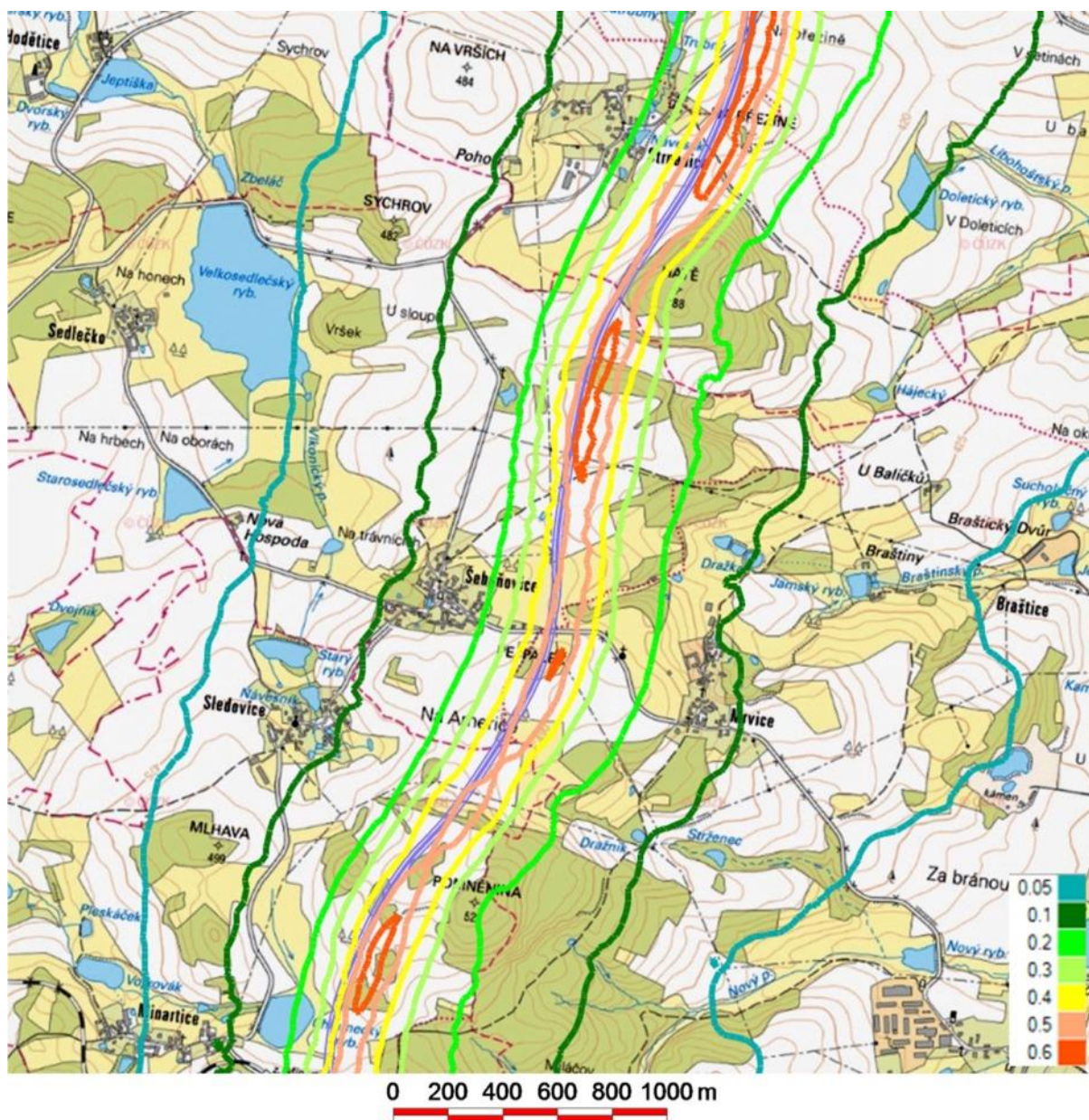
Obr.č.7 Příspěvky průměrných ročních koncentrací (I_{Hr}) NO₂ v µg.m⁻³
(Příspěvky od uvažovaných zdrojů, oblast Václavice, výpočtová výška 1,5m)



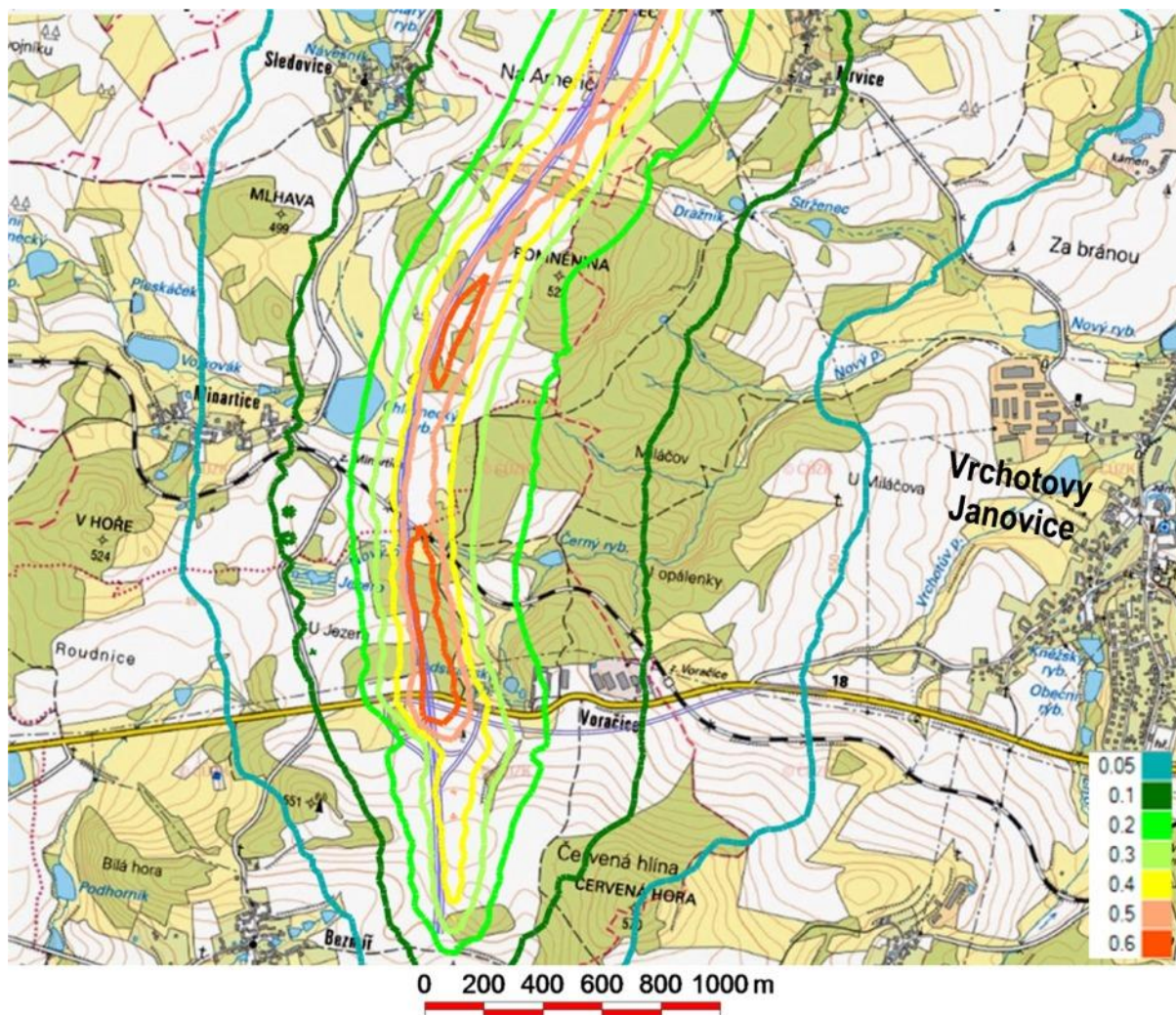
Obr.č8 Příspěvky průměrných ročních koncentrací (1Hr) NO_2 v $\mu\text{g.m}^{-3}$
(Příspěvky od uvažovaných zdrojů, oblast MÚK Neštětice, výpočtová výška 1,5m)



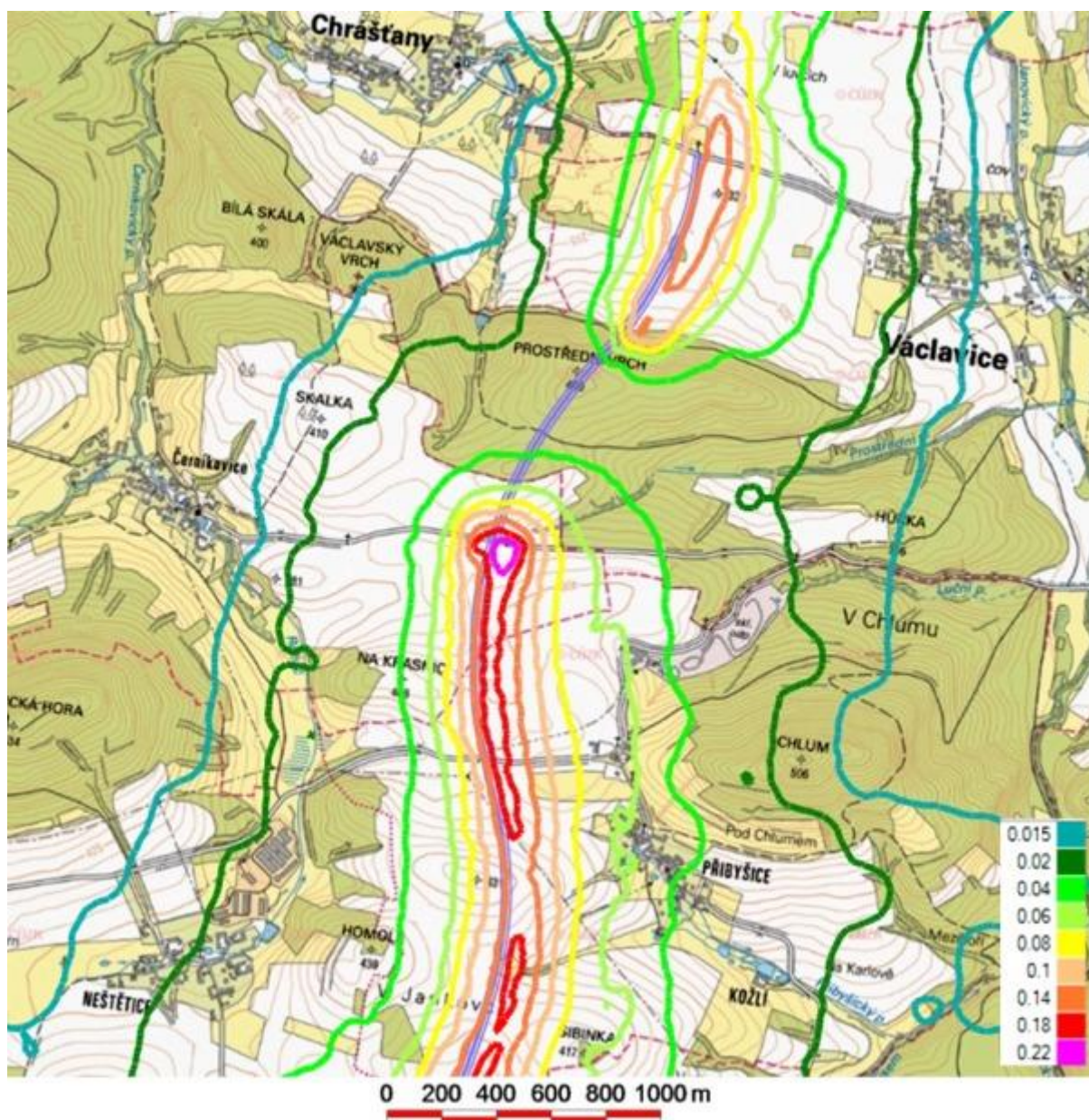
Obr.č. 9 Příspěvky průměrných ročních koncentrací (I_{Hr}) NO_2 v $\mu\text{g.m}^{-3}$
(Příspěvky od uvažovaných zdrojů, oblast Maršovice, výpočtová výška 1,5m)



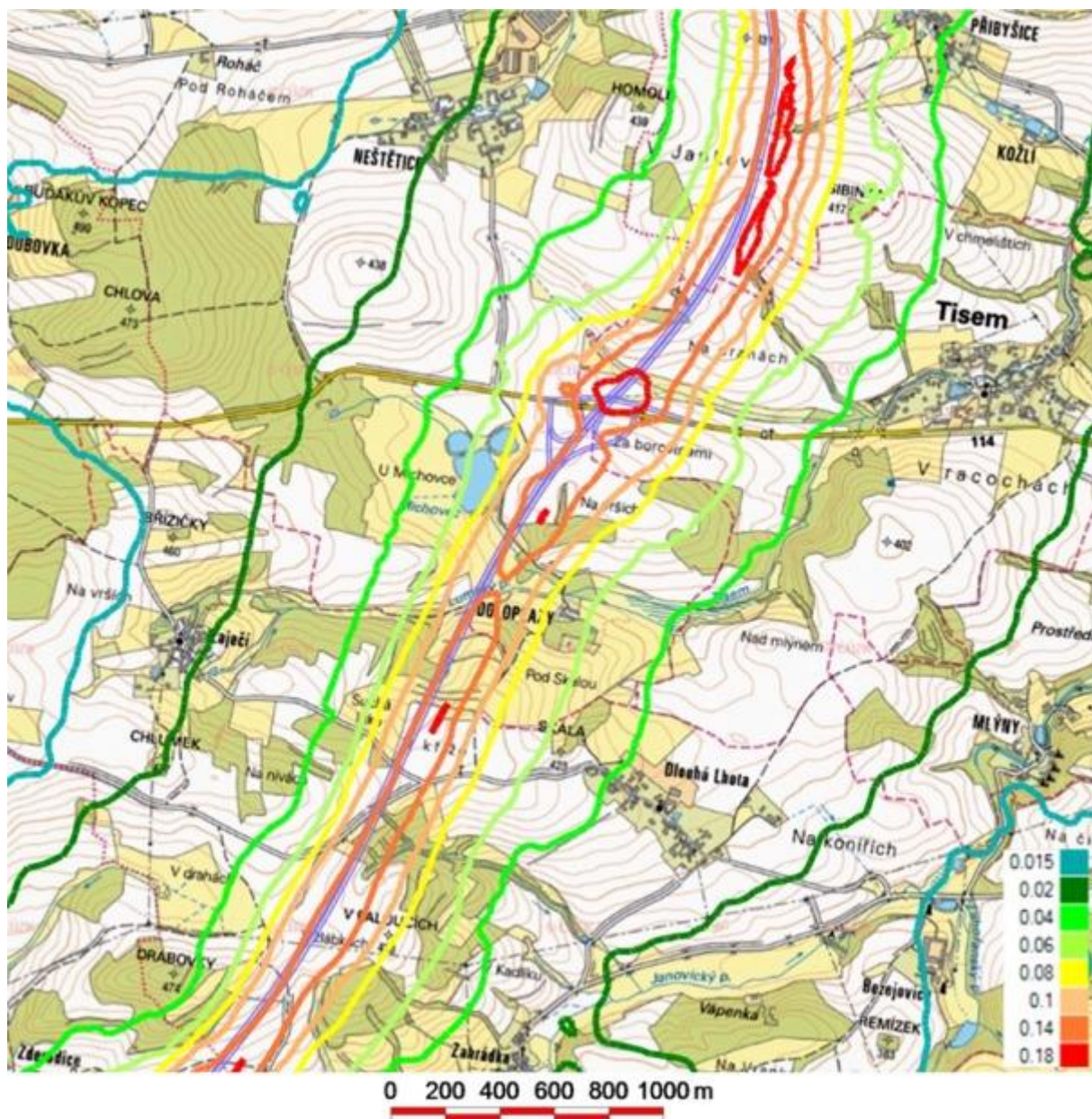
Obr.č. 10 Příspěvky průměrných ročních koncentrací (I_{Hr}) NO₂ v µg.m⁻³
(Příspěvky od uvažovaných zdrojů, oblast Šebáňovice, výpočtová výška 1,5m)



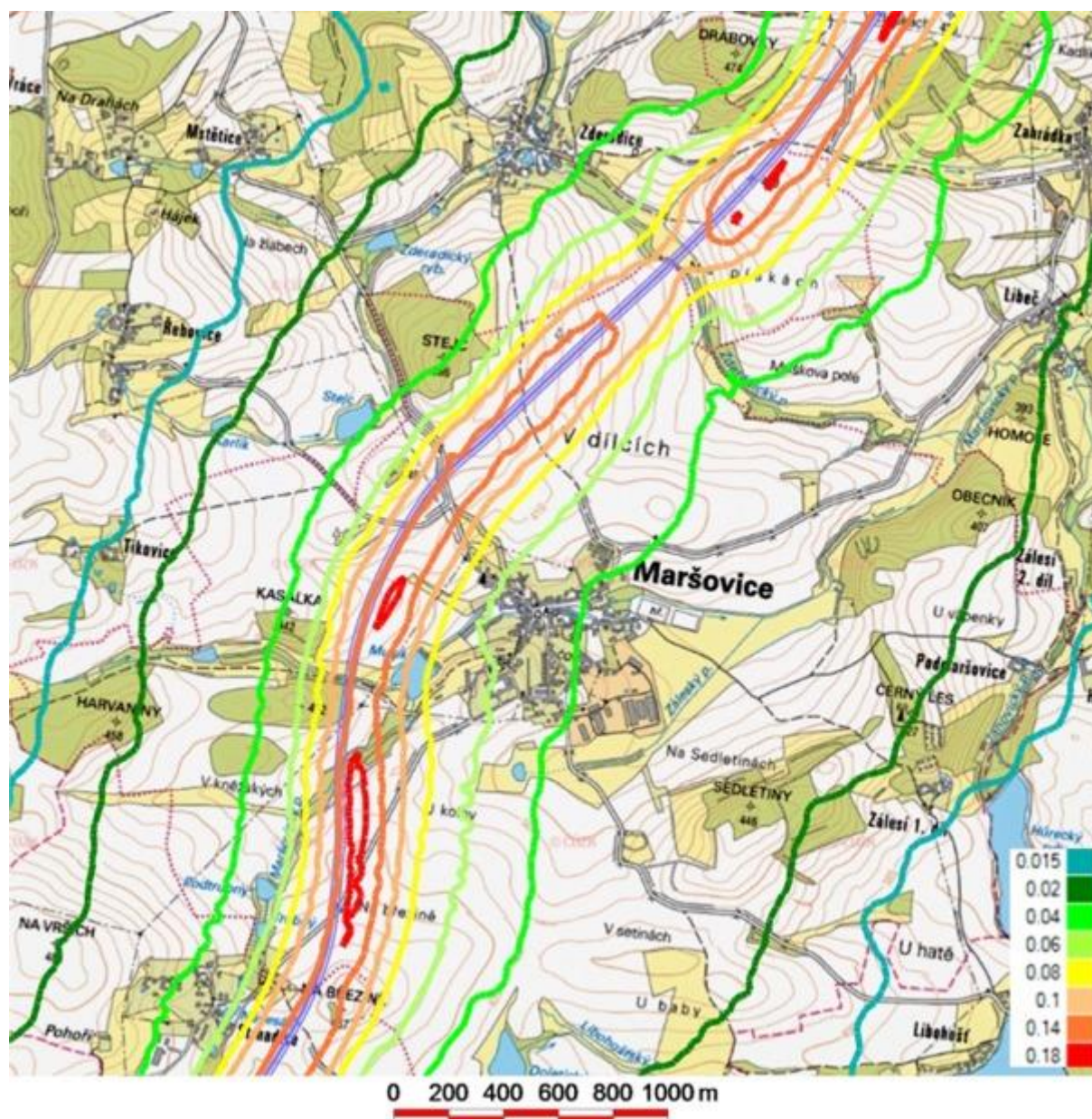
Obr.č. 11 Příspěvky průměrných ročních koncentrací (I Hr) NO_2 v $\mu\text{g.m}^{-3}$
(Příspěvky od uvažovaných zdrojů, oblast MÚK Vorávice, výpočtová výška 1,5m)



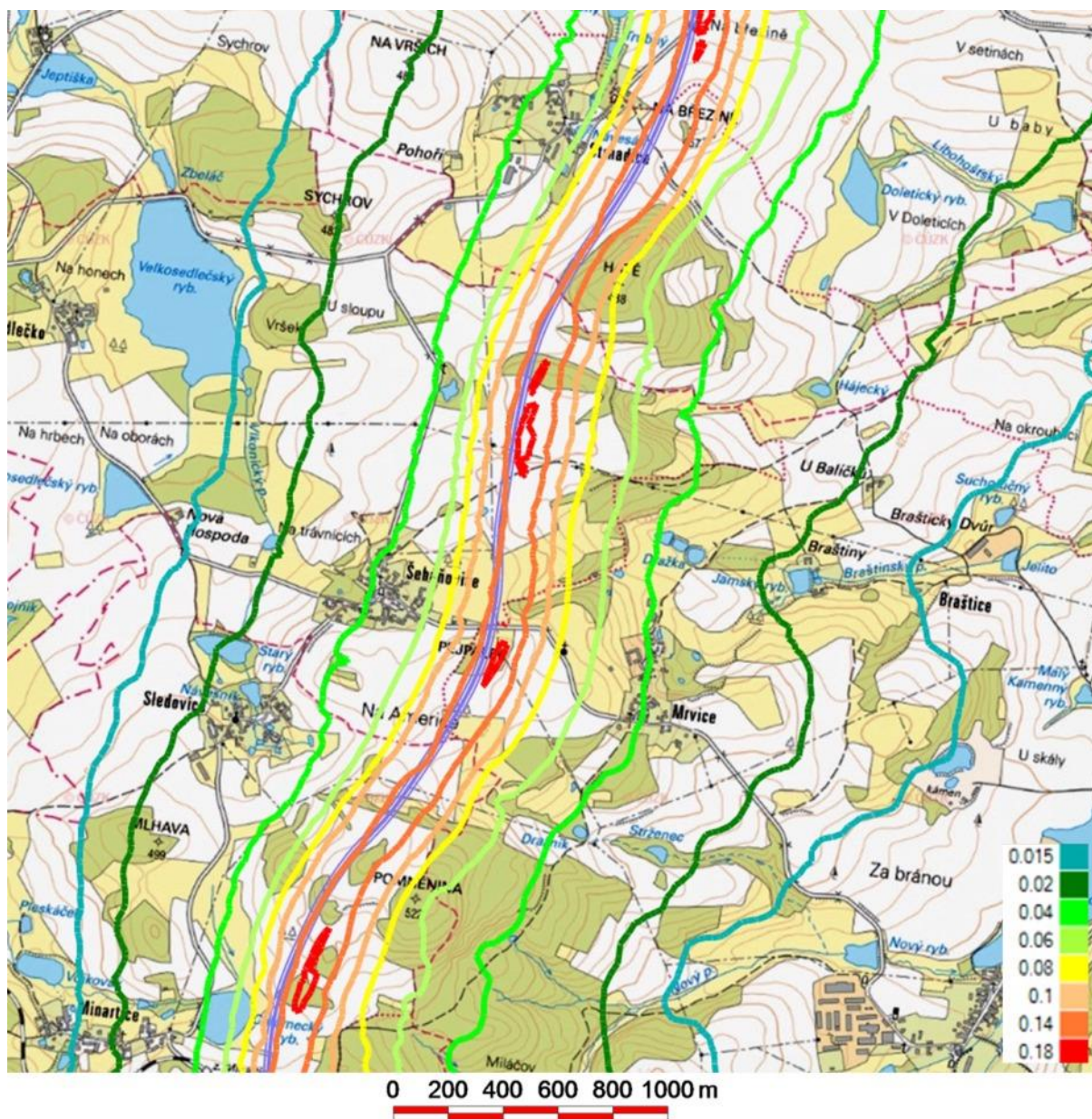
Obr.č.12 Příspěvky průměrných ročních koncentrací (I_{Hr}) PM_{10} v $\mu\text{g}\cdot\text{m}^{-3}$.
(Příspěvky od uvažovaných zdrojů, oblast Václavice, výpočtová výška 1,5m)



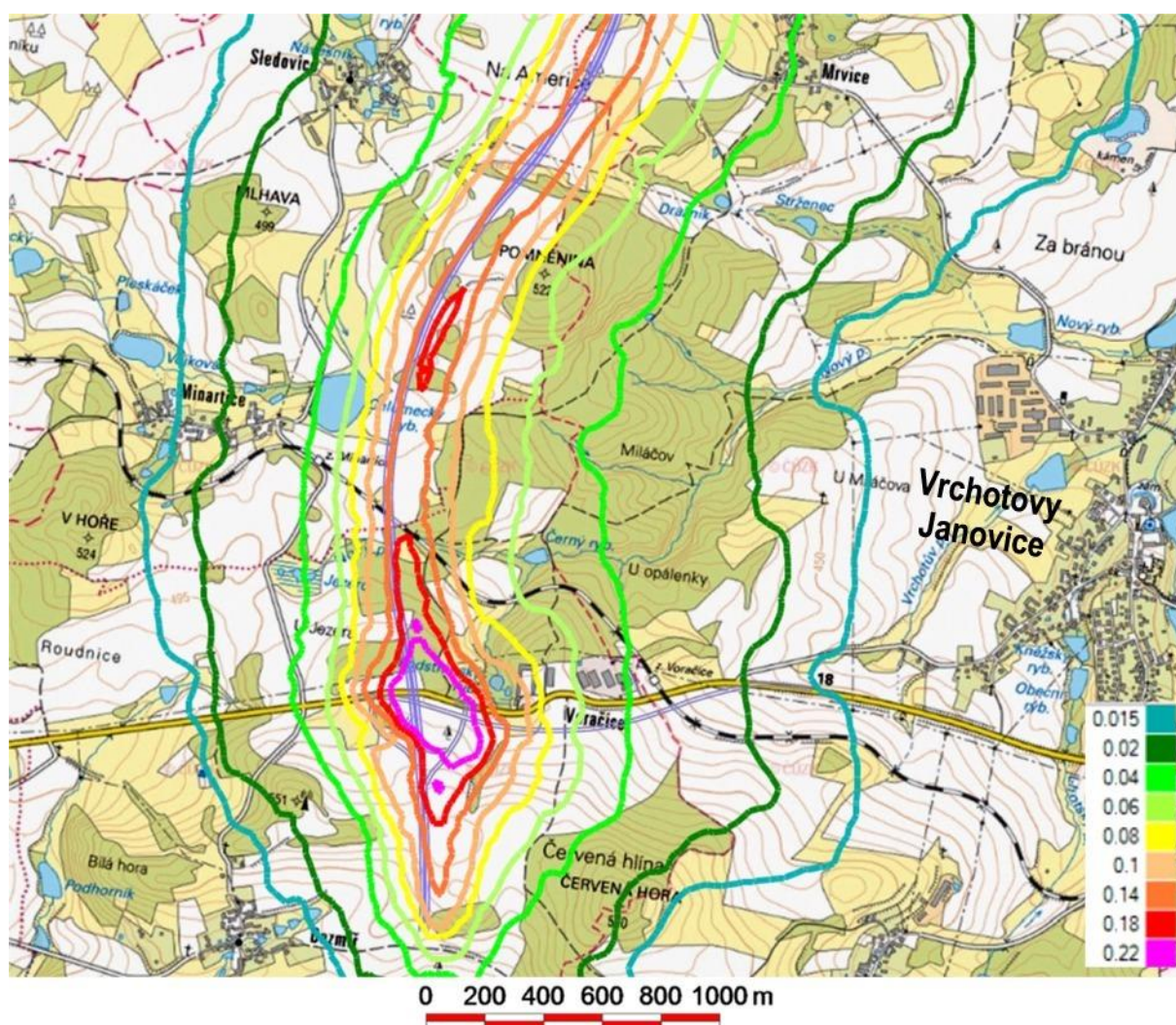
**Obr.č.13 Příspěvky průměrných ročních koncentrací (I Hr) PM₁₀ v µg.m⁻³.
(Příspěvky od uvažovaných zdrojů, oblast MÚK Neštětice, výpočtová výška 1,5m)**



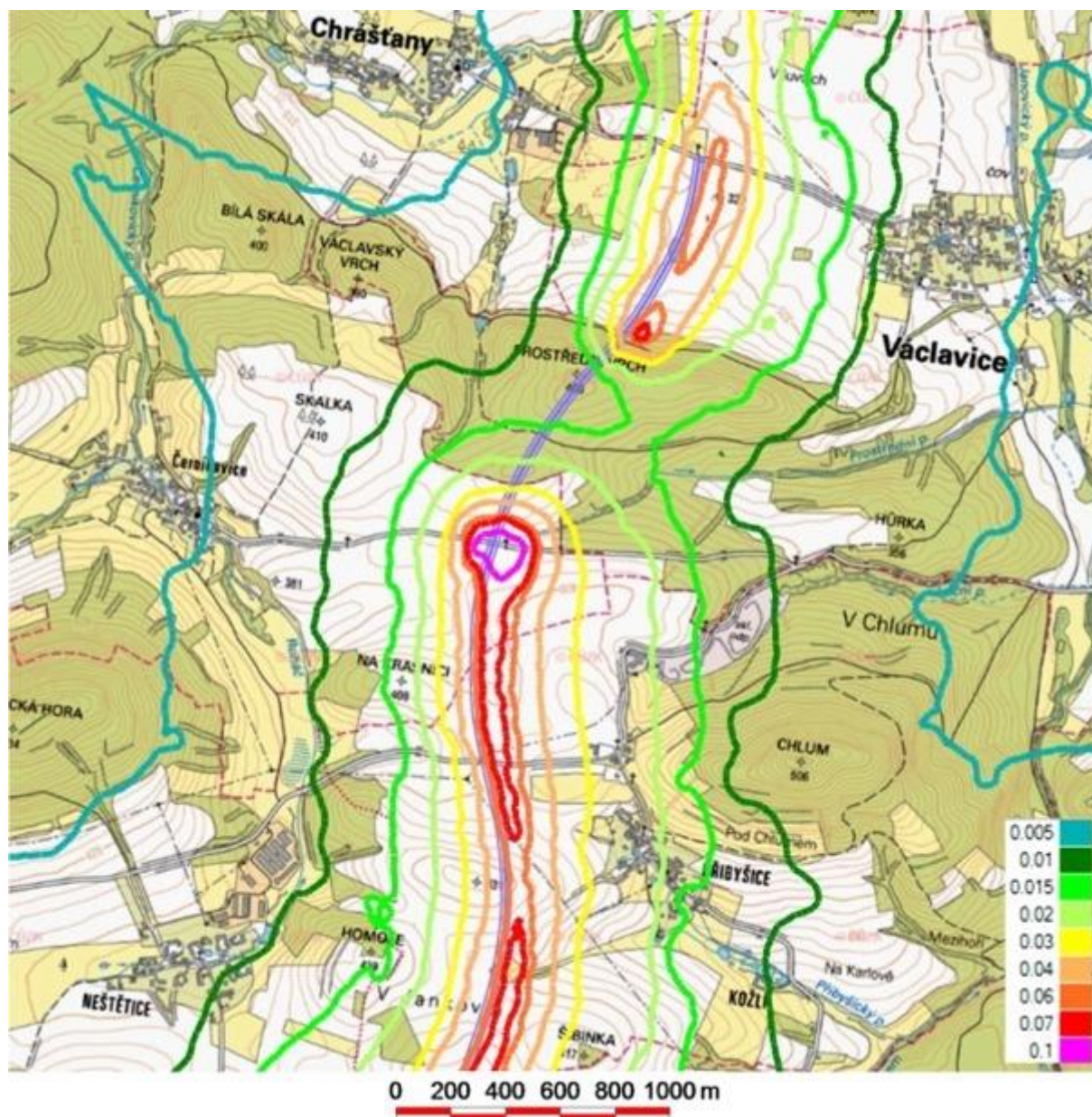
Obr.č.14 Příspěvky průměrných ročních koncentrací (IHr) PM_{10} v $\mu g \cdot m^{-3}$.
(Příspěvky od uvažovaných zdrojů, oblast Maršovice, výpočtová výška 1,5m)



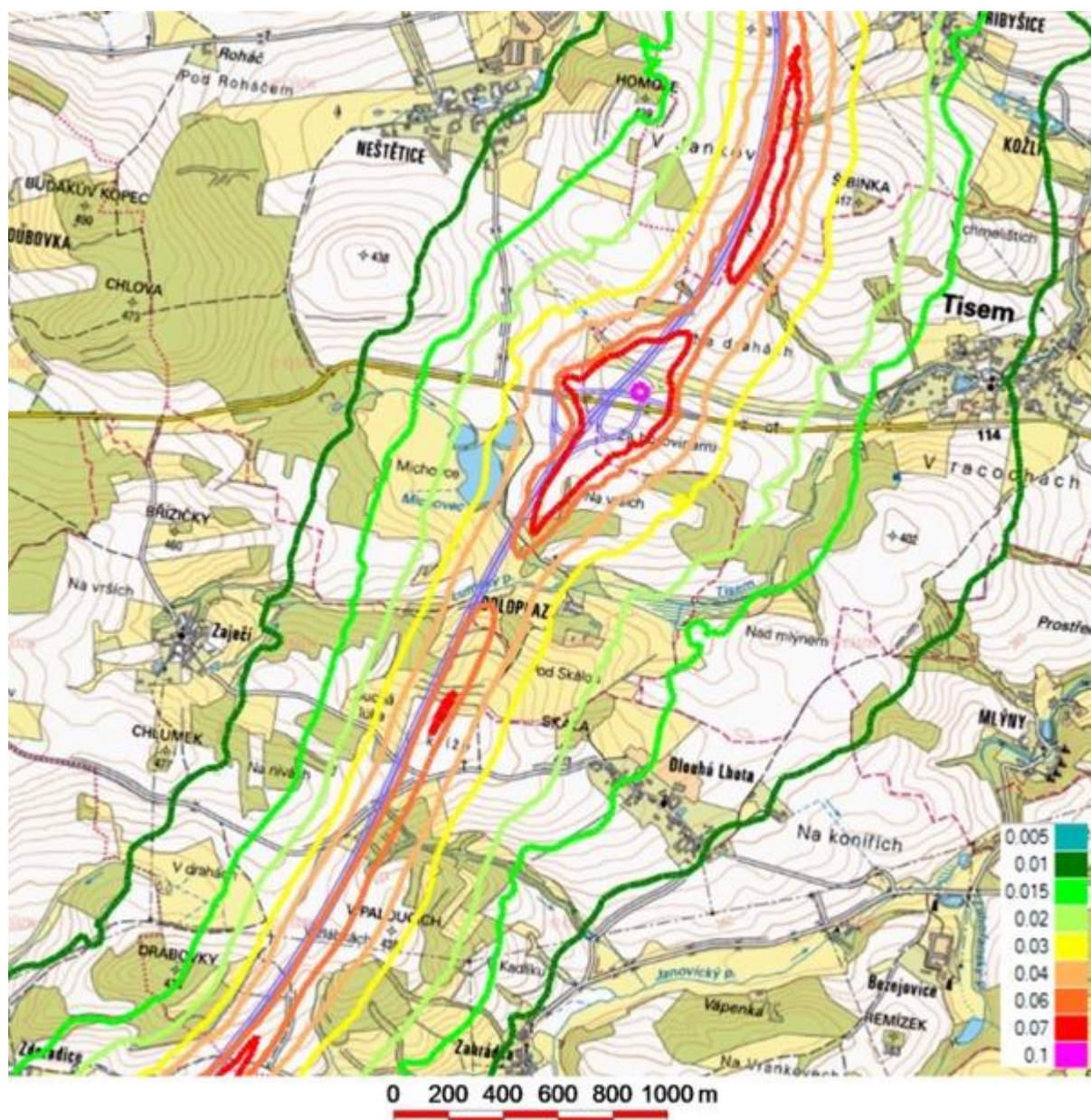
Obr.č.15 Příspěvky průměrných ročních koncentrací (IHr) PM_{10} v $\mu\text{g.m}^{-3}$.
(Příspěvky od uvažovaných zdrojů, oblast Šebáňovice, výpočtová výška 1,5m)



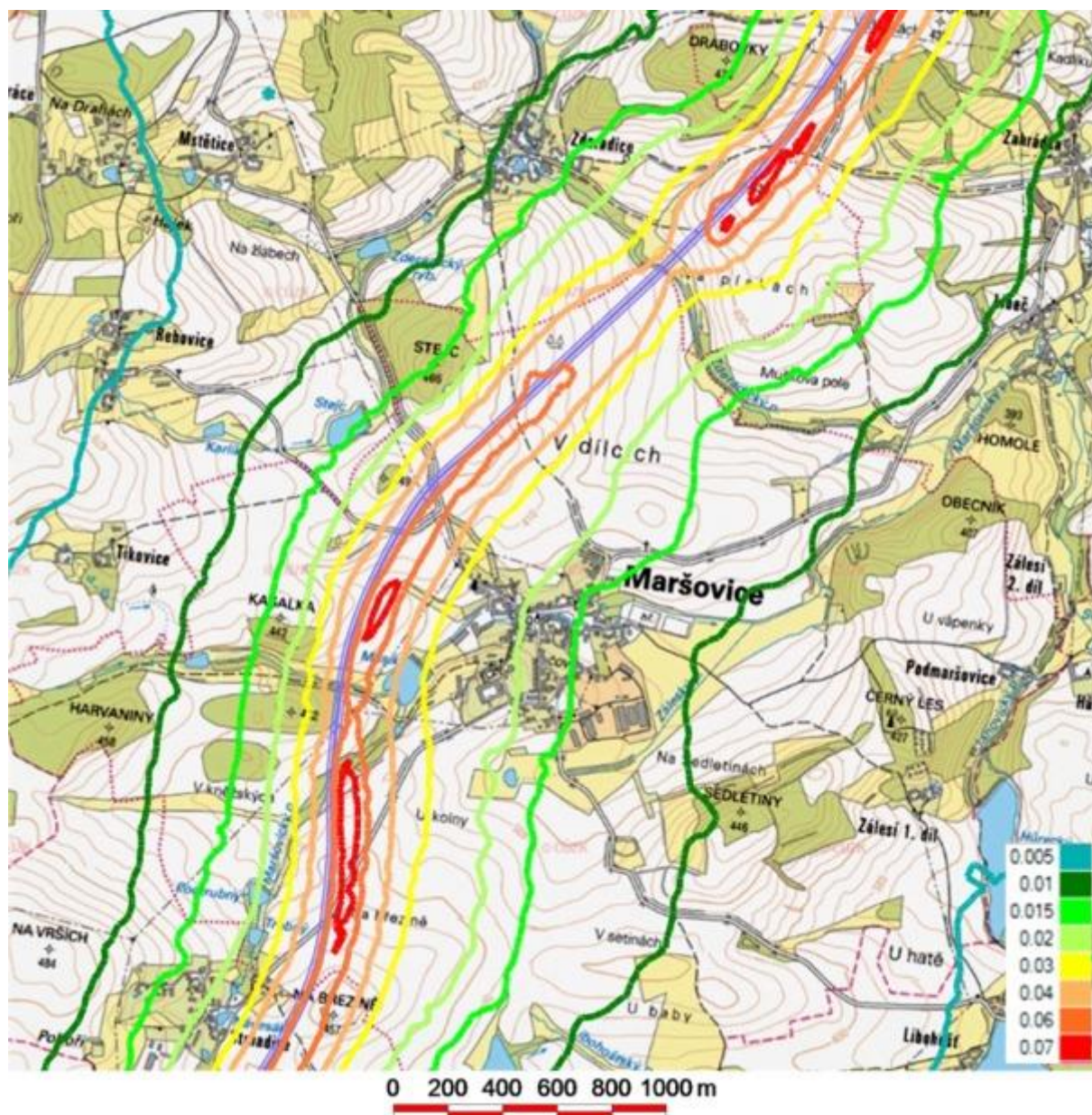
Obr.č.16 Příspěvky průměrných ročních koncentrací (I_{Hr}) PM₁₀ v µg.m⁻³.
(Příspěvky od uvažovaných zdrojů, oblast MÚK Voráčice, výpočtová výška 1,5m)



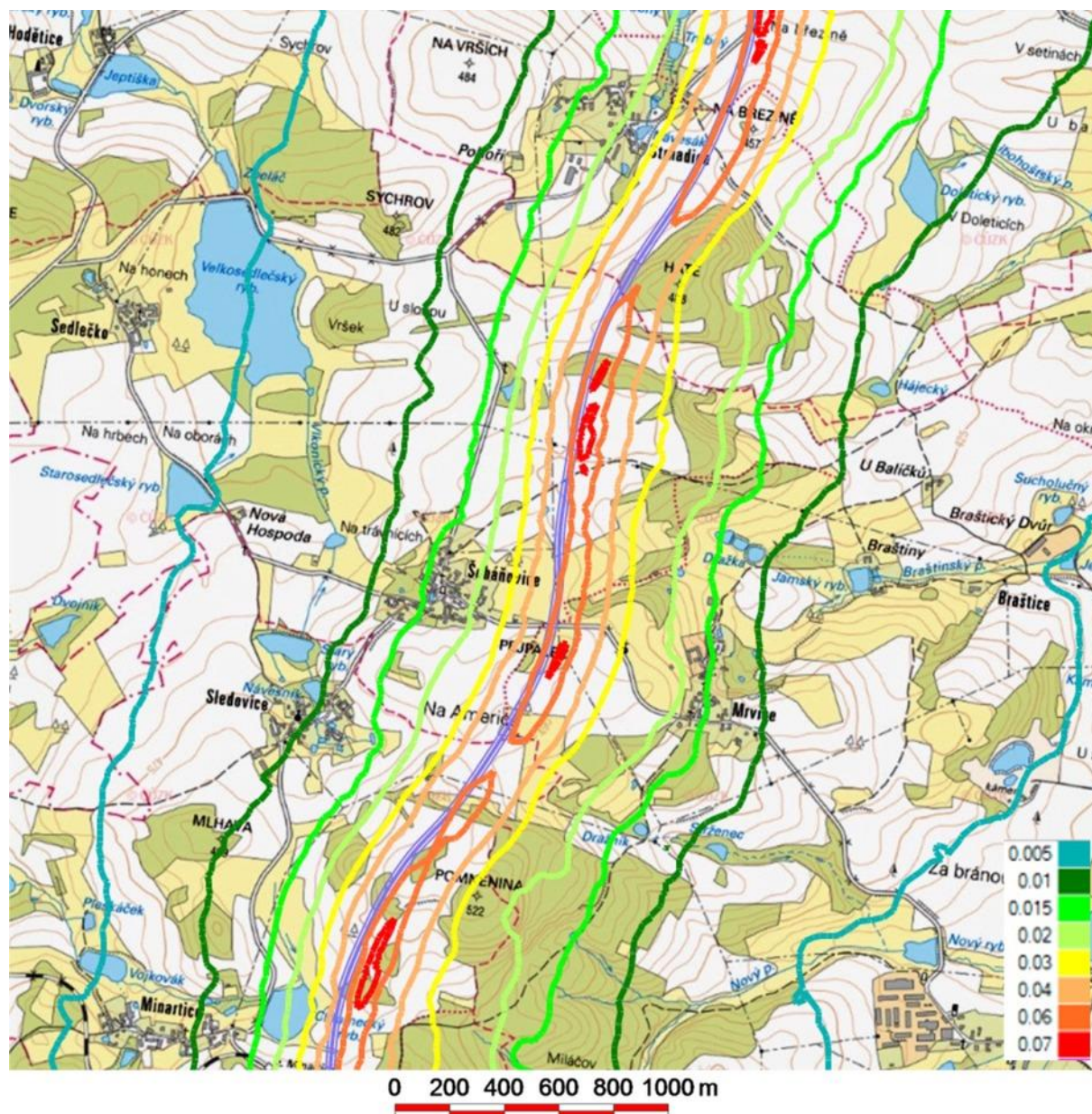
Obr.č.17 Příspěvky průměrných ročních koncentrací (I_{Hr}) PM_{2.5} v µg.m⁻³.
(Příspěvky od uvažovaných zdrojů, oblast Václavice, výpočtová výška 1,5m)



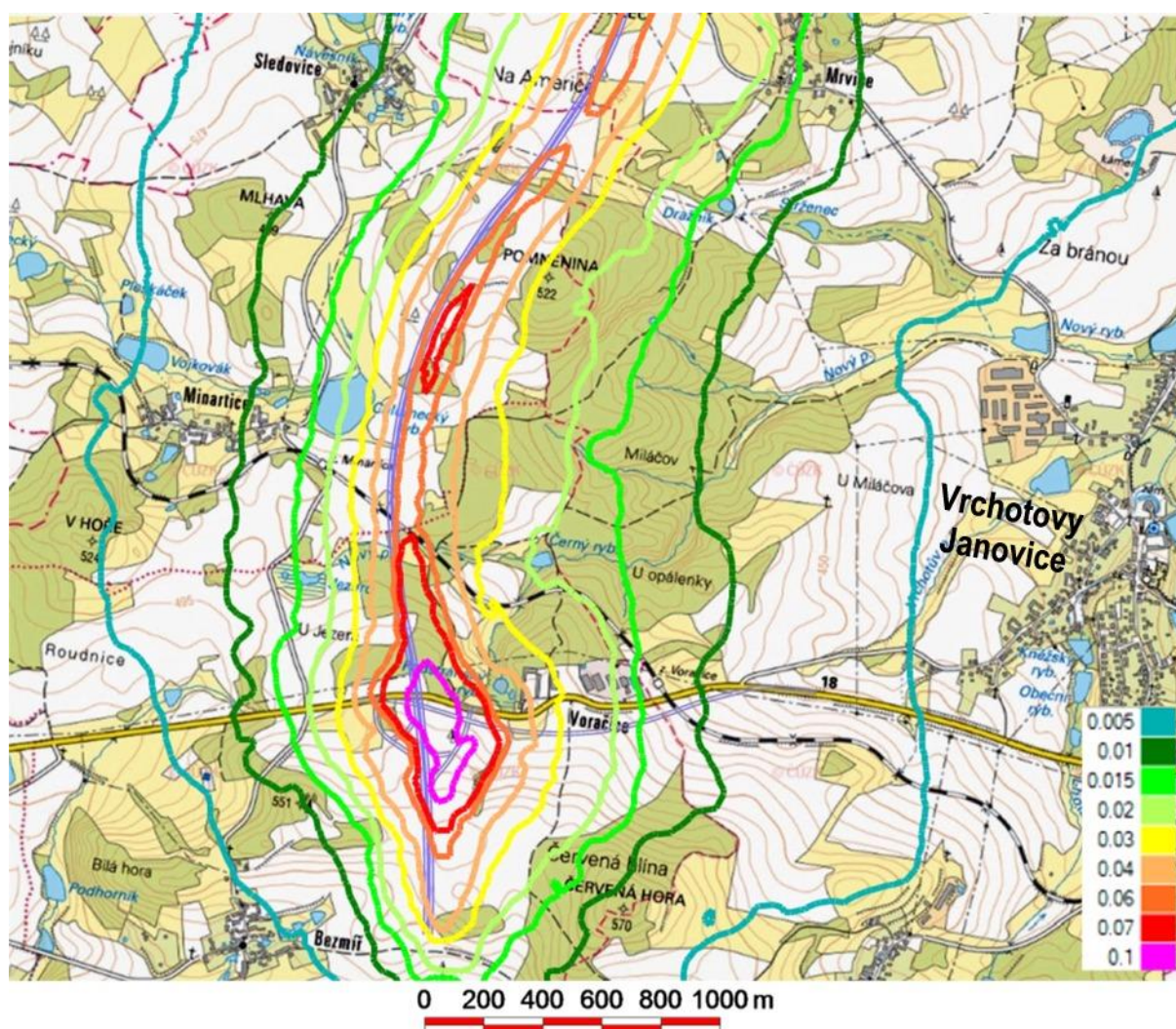
Obr.č.18 Příspěvky průměrných ročních koncentrací (I_{Hr}) PM_{2,5} v µg.m⁻³.
(Příspěvky od uvažovaných zdrojů, oblast MÚK Neštětice, výpočtová výška 1,5m)



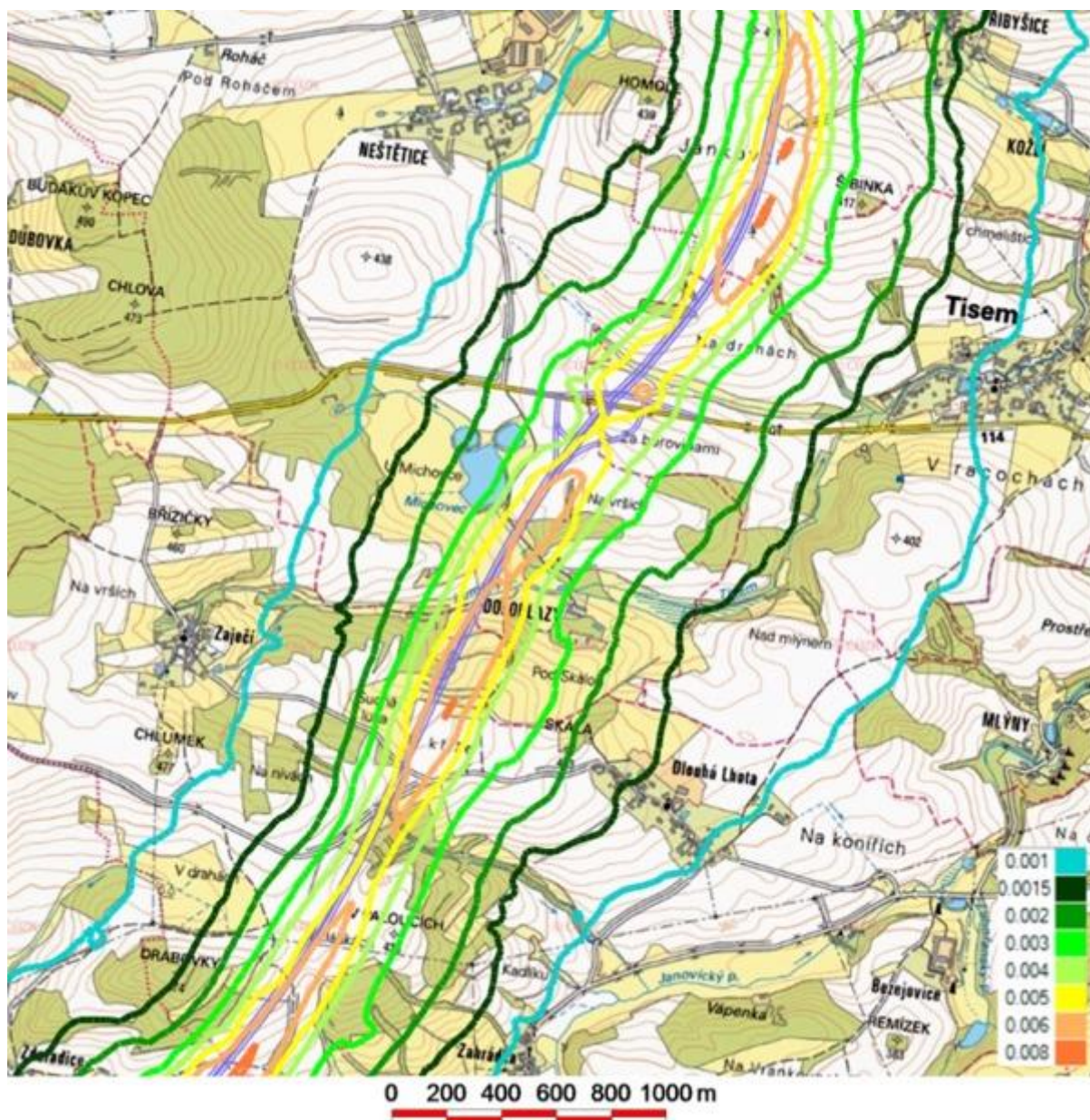
Obr.č.19 Příspěvky průměrných ročních koncentrací (I_{Hr}) PM_{2,5} v µg.m⁻³.
(Příspěvky od uvažovaných zdrojů, oblast Maršovice, výpočtová výška 1,5m)



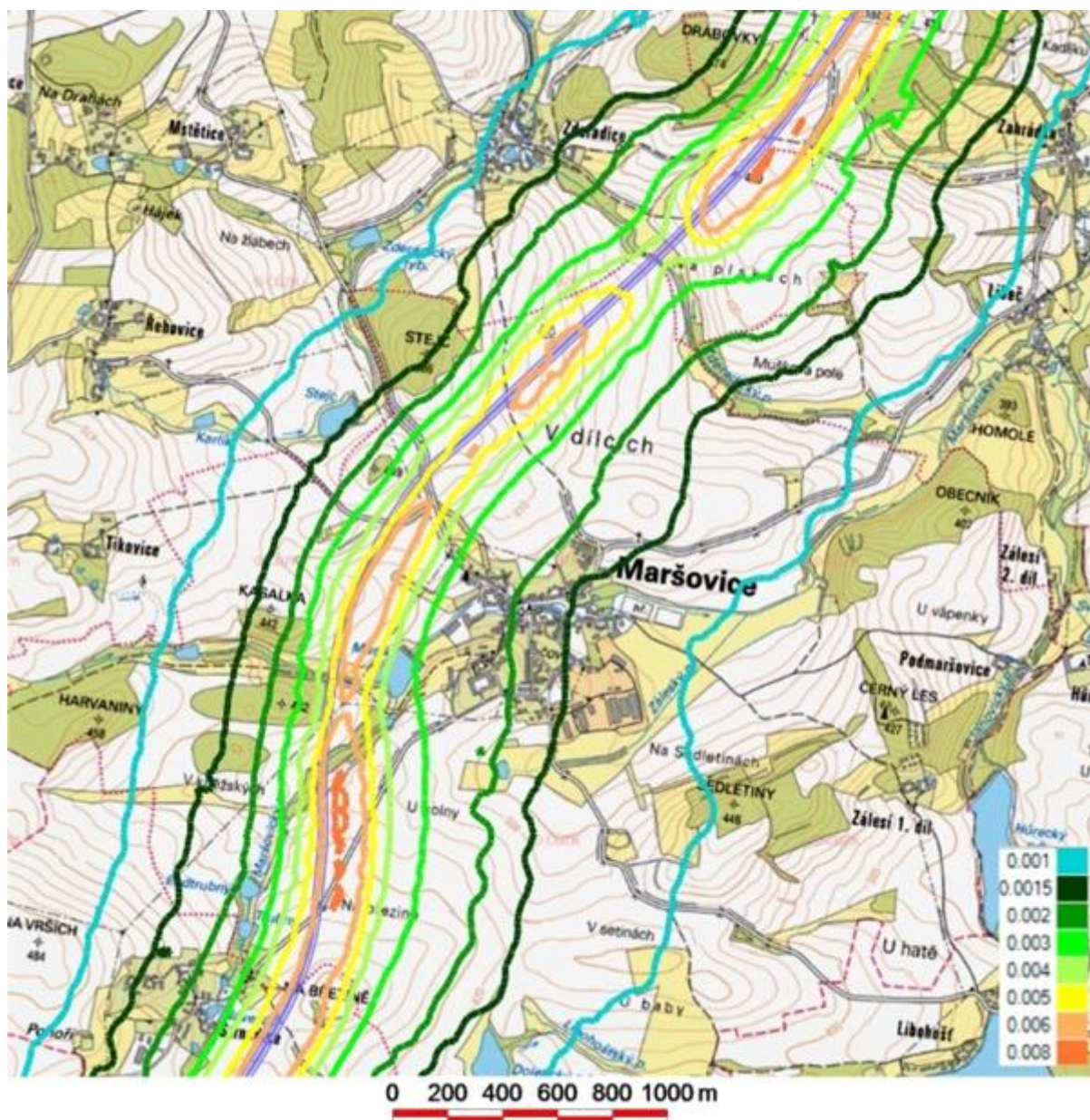
Obr.č.20 Příspěvky průměrných ročních koncentrací (I Hr) PM_{2.5} v µg.m⁻³.
(Příspěvky od uvažovaných zdrojů, oblast Šebáňovice, výpočtová výška 1,5m)



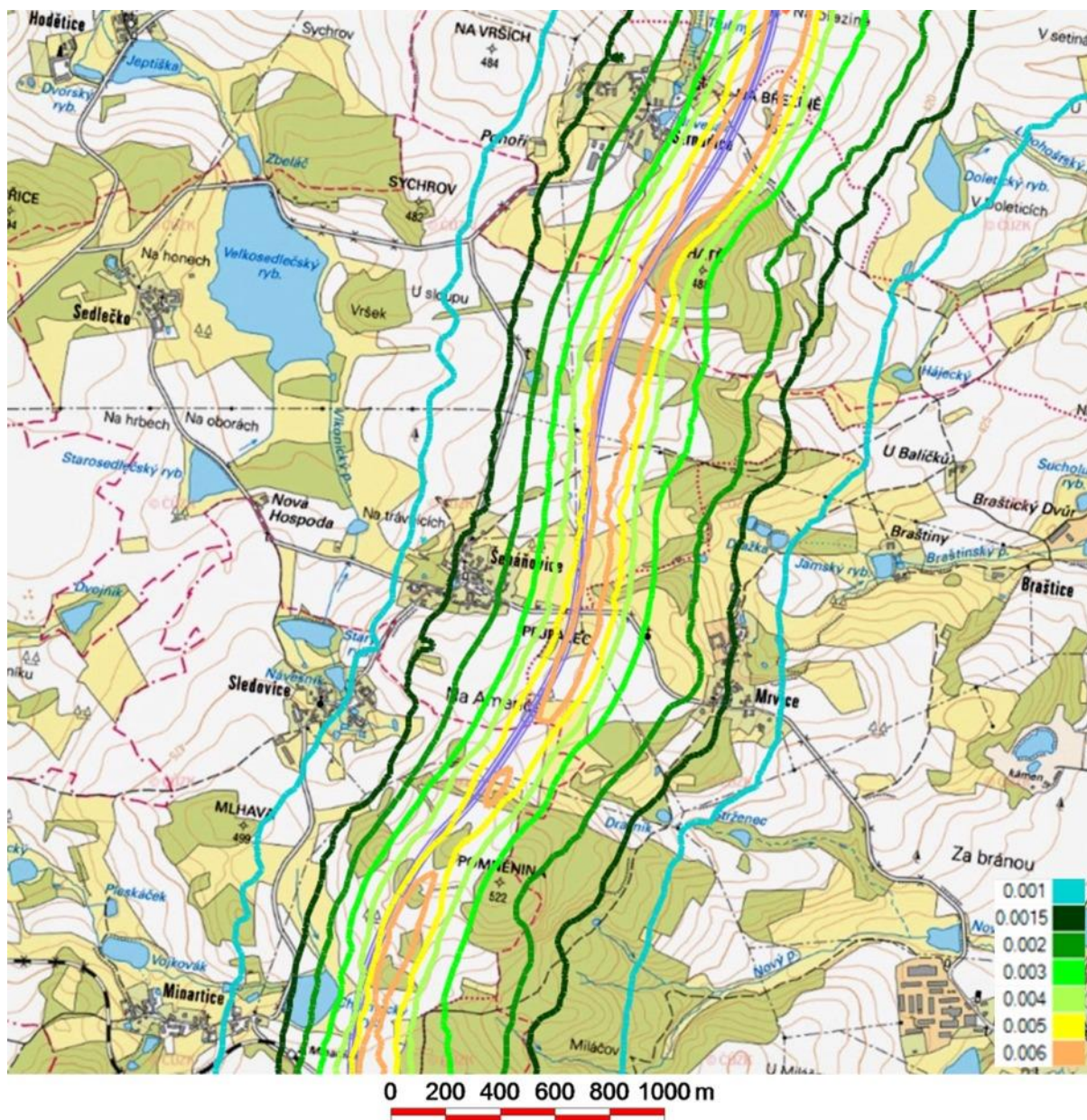
**Obr.č.21 Příspěvky průměrných ročních koncentrací (I Hr) PM_{2,5} v µg.m⁻³.
(Příspěvky od uvažovaných zdrojů, oblast MÚK Voráčice, výpočtová výška 1,5m)**



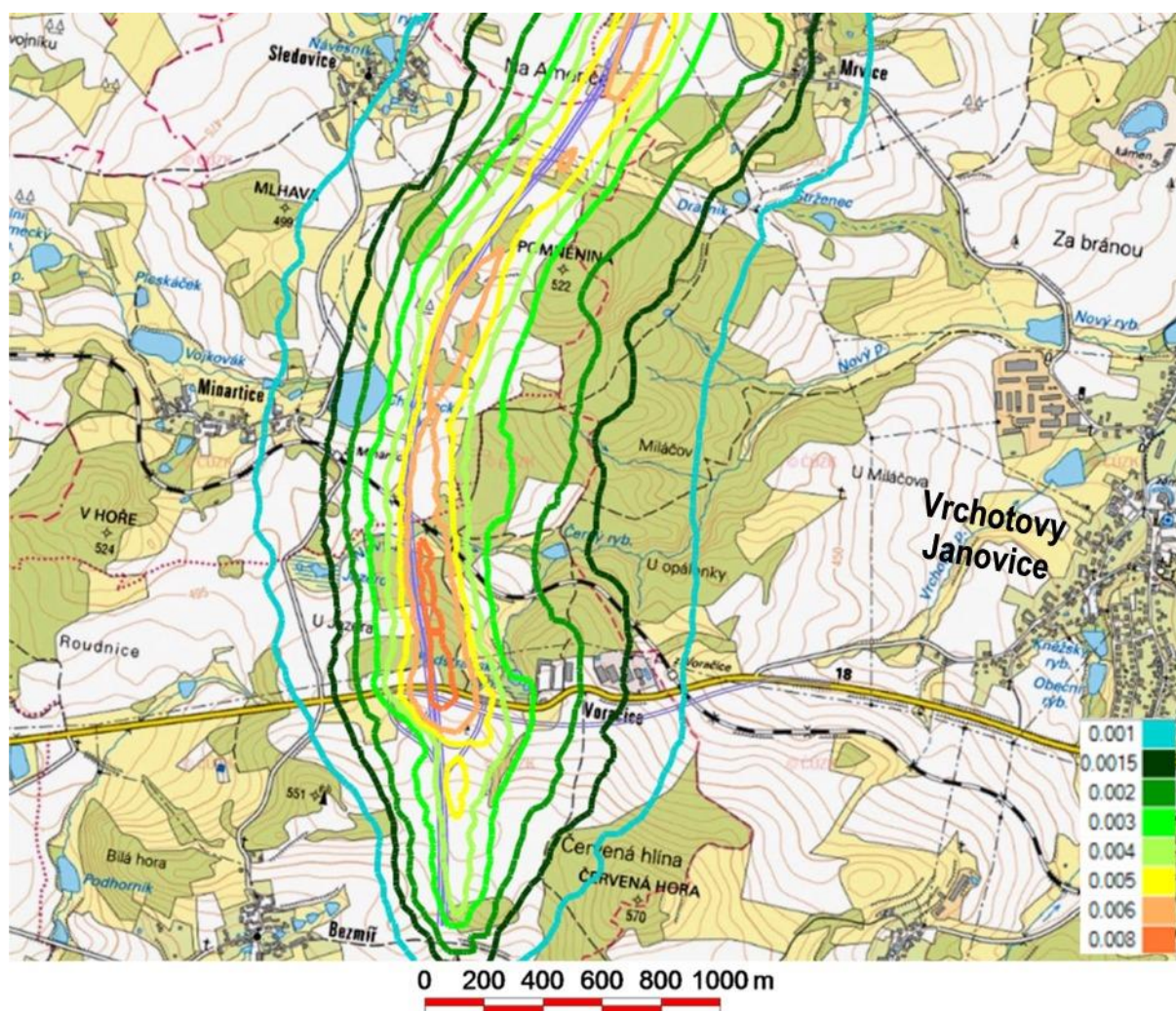
Obr.č. 23 Příspěvky průměrných ročních koncentrací (IHR) BZN v $\mu\text{g.m}^{-3}$
(Příspěvky od uvažovaných zdrojů, oblast MÚK Neštětice, výpočtová výška 1,5m)



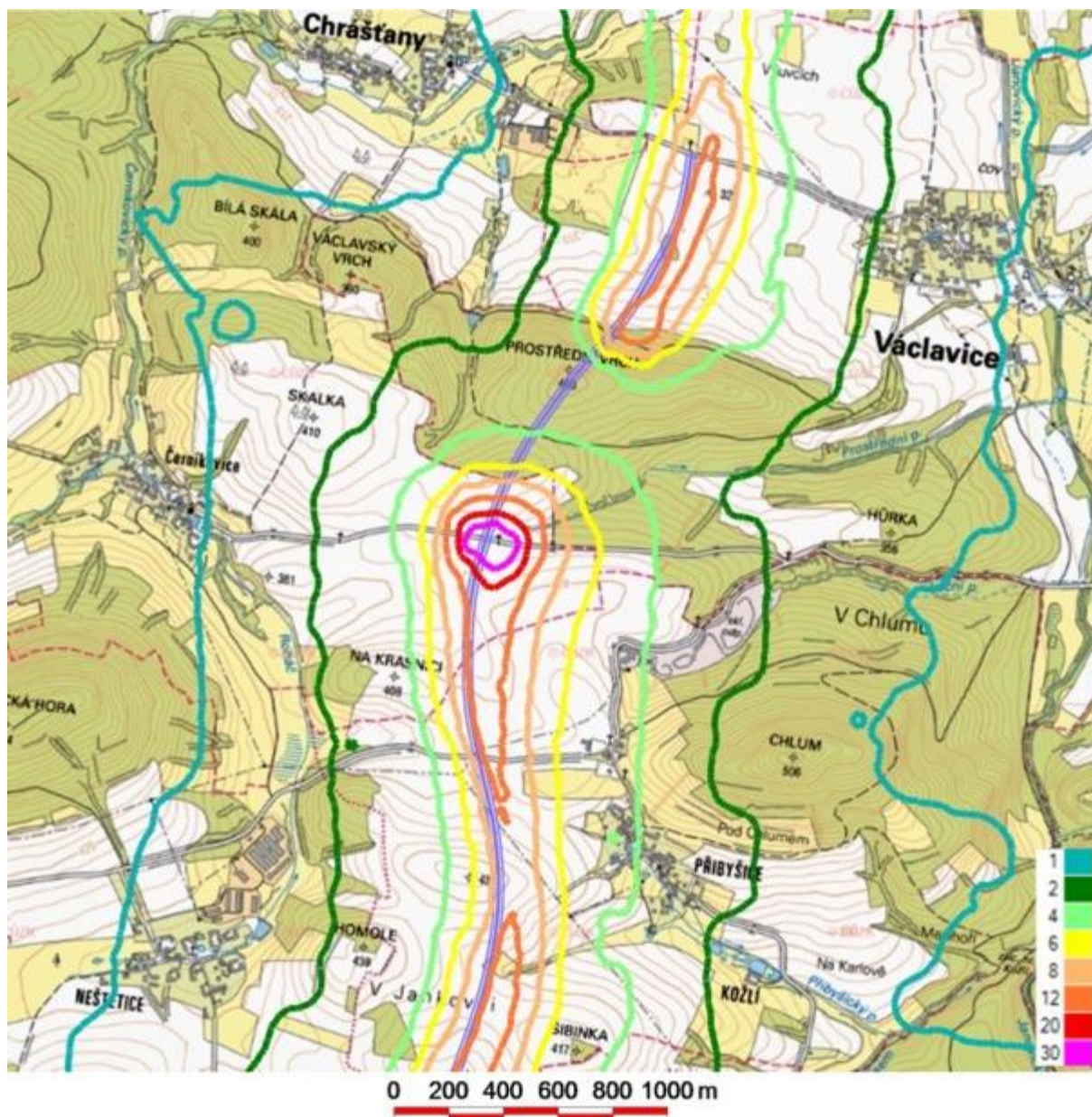
Obr.č. 24 Příspěvky průměrných ročních koncentrací (I_{Hr}) BZN v $\mu\text{g.m}^{-3}$
(Příspěvky od uvažovaných zdrojů, oblast Maršovice, výpočtová výška 1,5m)



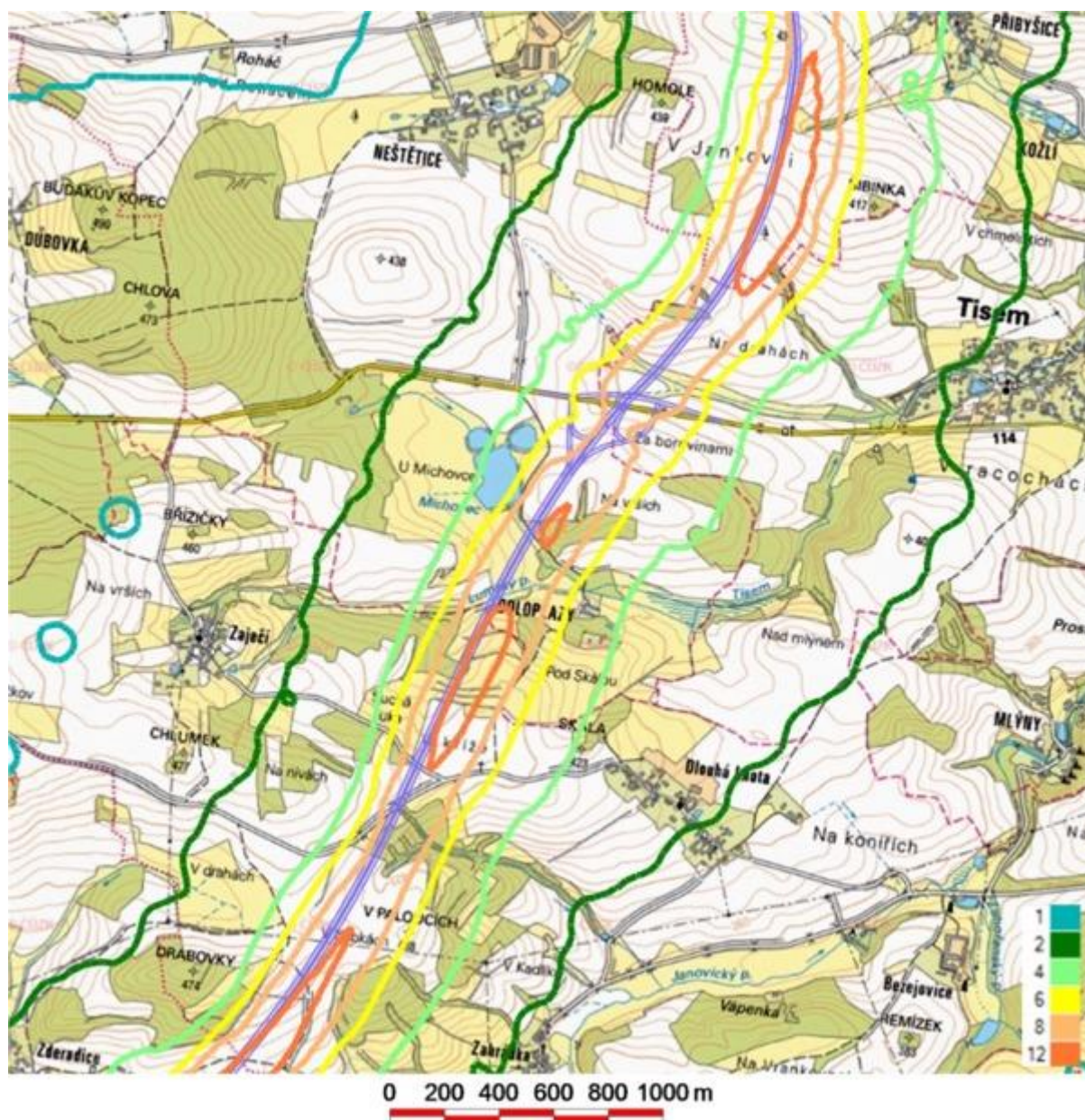
Obr.č. 25 Příspěvky průměrných ročních koncentrací (I_{Hr}) BZN v $\mu\text{g.m}^{-3}$
(Příspěvky od uvažovaných zdrojů, oblast Šebáňovice, výpočtová výška 1,5m)



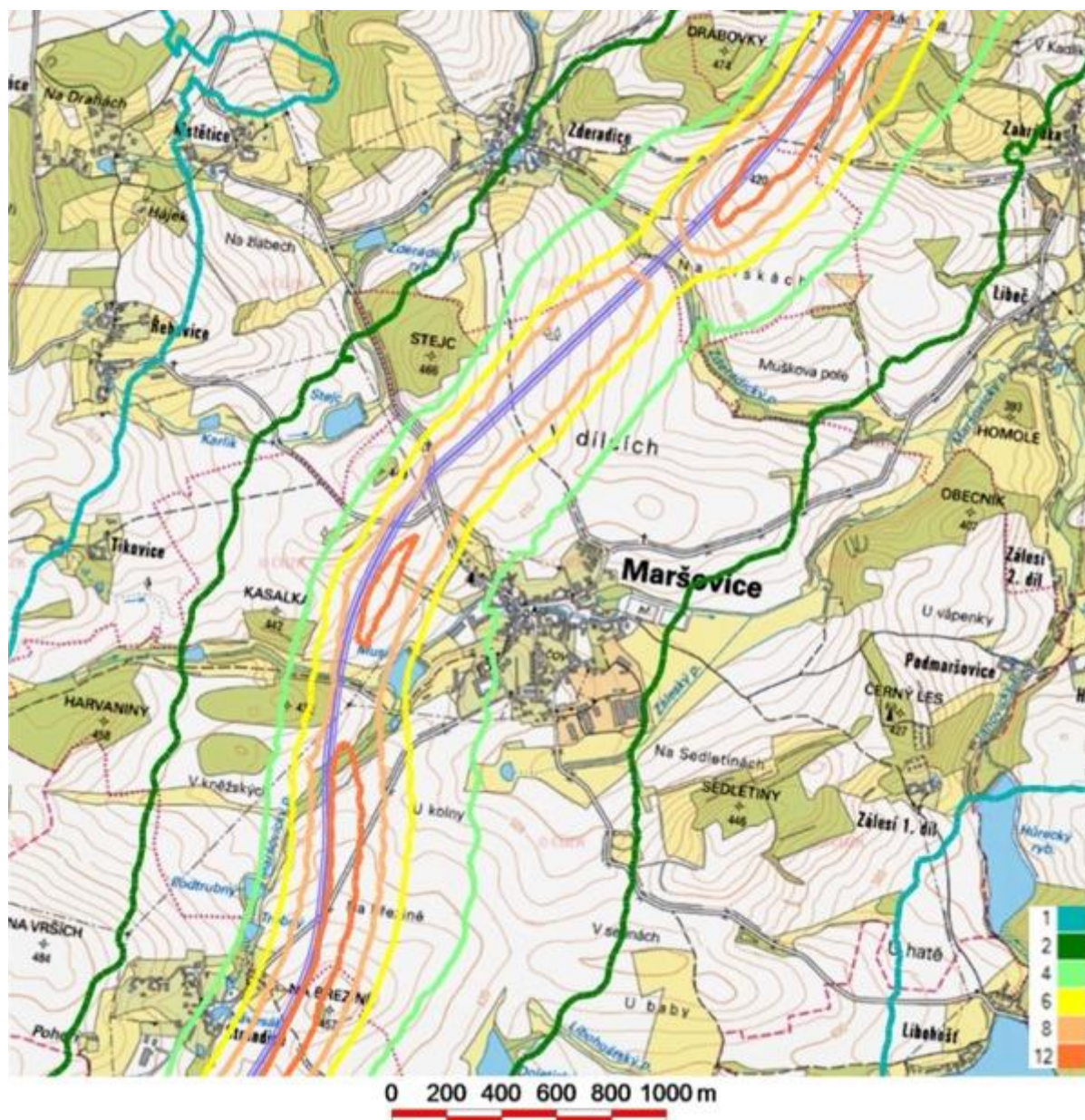
Obr.č. 26 Příspěvky průměrných ročních koncentrací (IHR) BZN v $\mu\text{g.m}^{-3}$
(Příspěvky od uvažovaných zdrojů, oblast MÚK Voráče, výpočtová výška 1,5m)



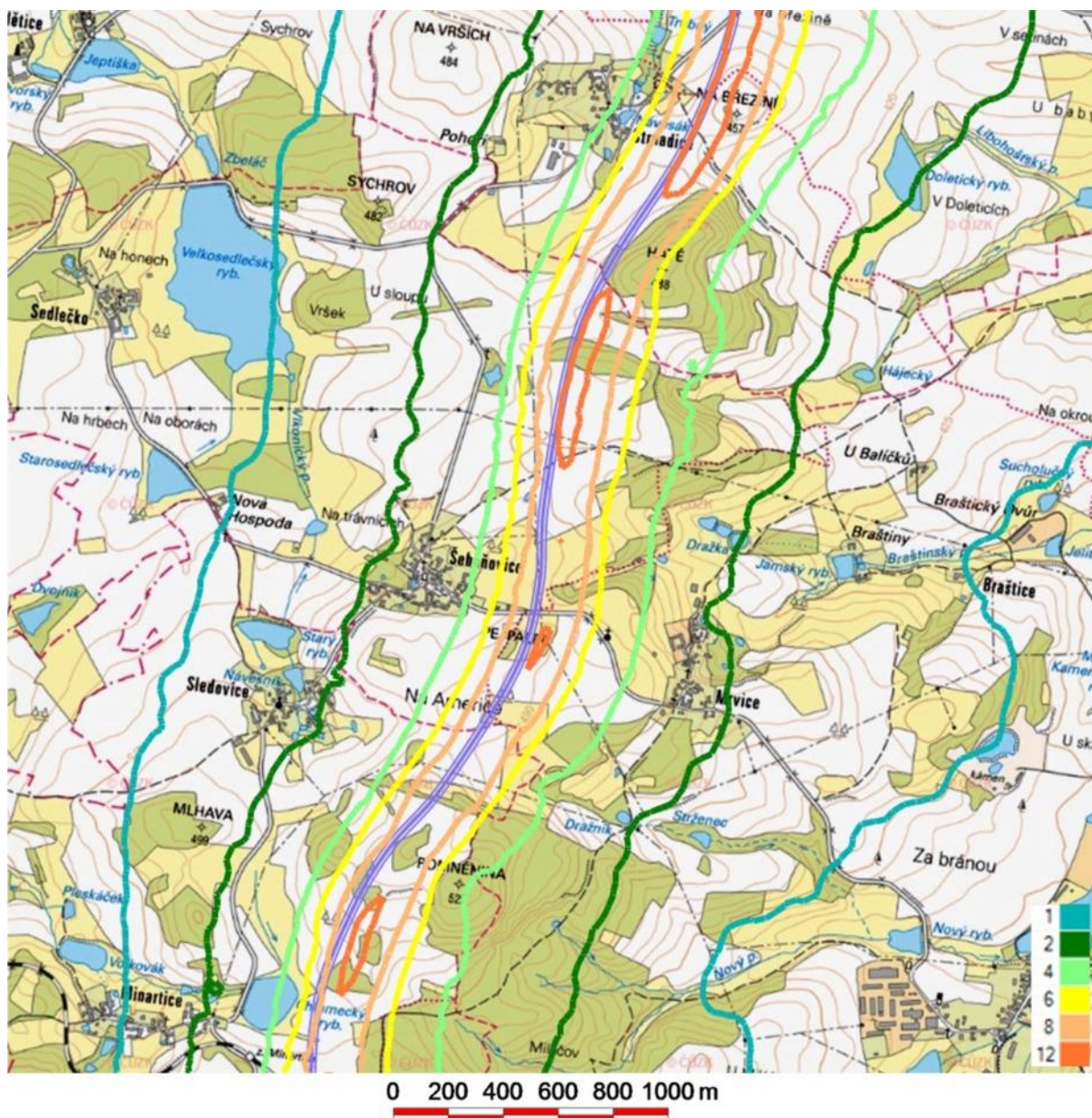
Obr.č.27 Příspěvky průměrných ročních koncentrací (I_{Hr}) BaP v $\mu\text{g.m}^{-3}$
(Příspěvky od uvažovaných zdrojů, oblast Václavice, výpočtová výška 1,5m)



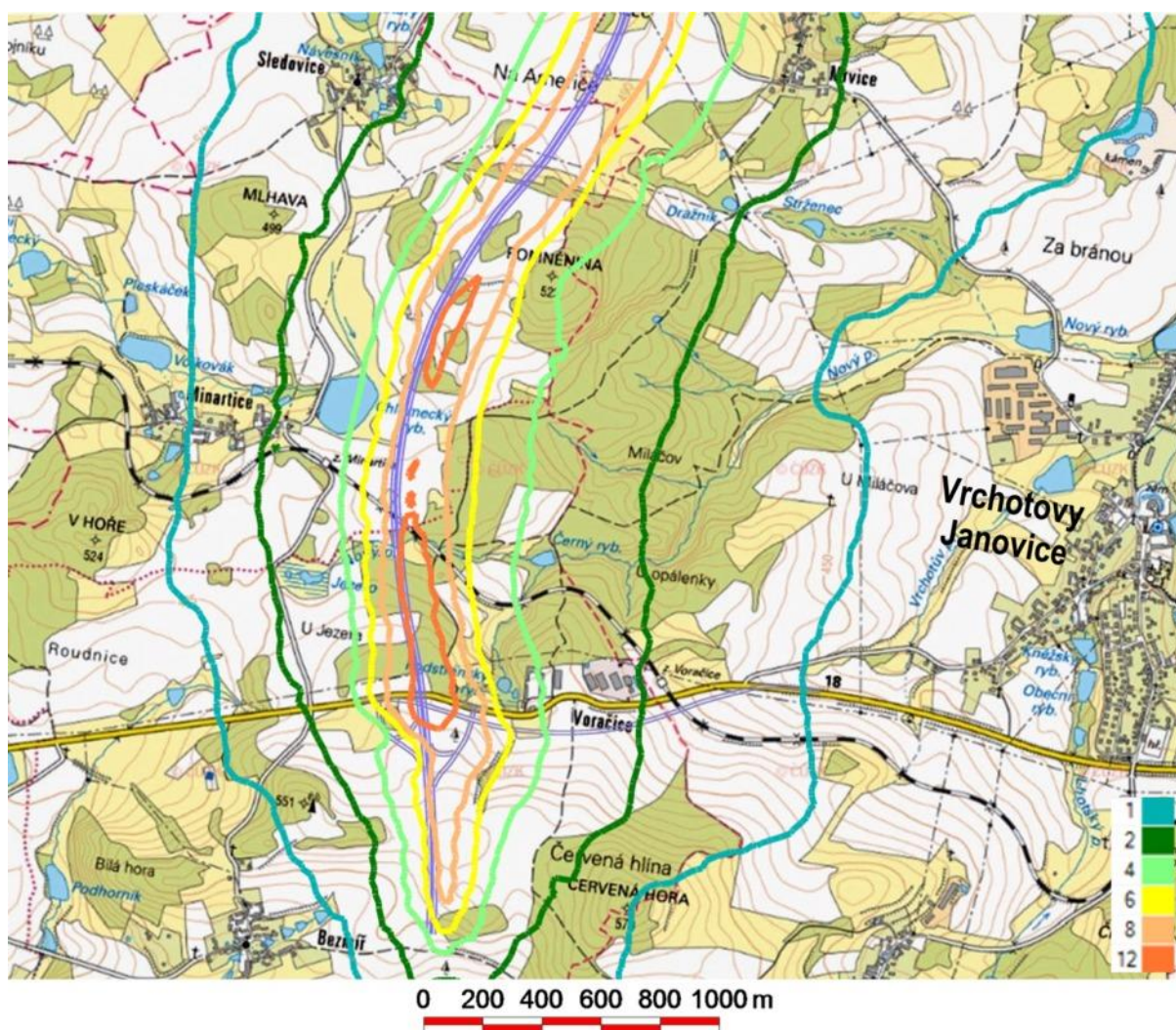
Obr.č.28 Příspěvky průměrných ročních koncentrací (I_{Hr}) BaP v $\mu\text{g.m}^{-3}$
(Příspěvky od uvažovaných zdrojů, oblast MÚK Neštětice, výpočtová výška 1,5m)



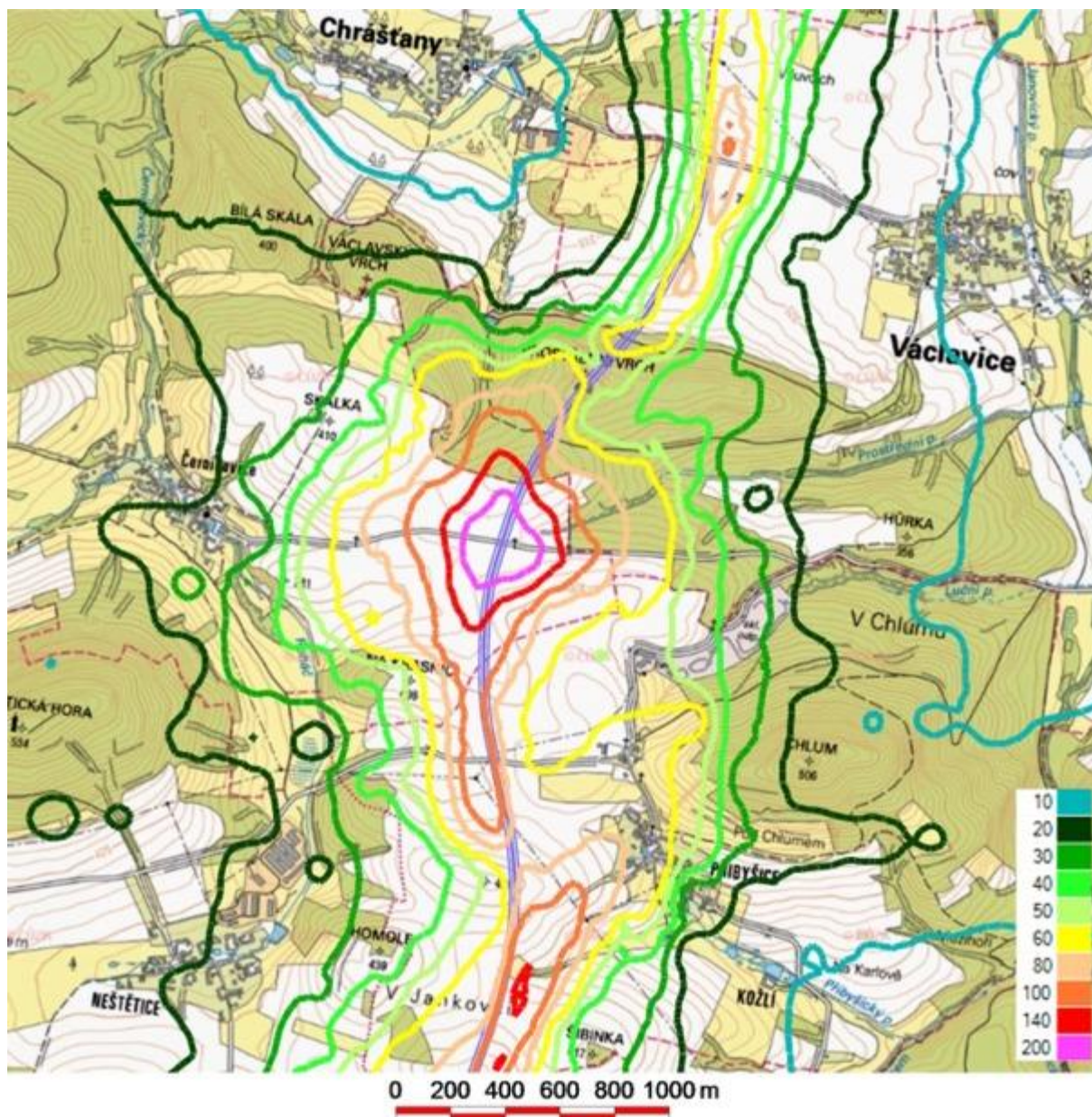
Obr.č.29 Příspěvky průměrných ročních koncentrací (I)Hr BaP v $\mu\text{g.m}^{-3}$
(Příspěvky od uvažovaných zdrojů, oblast Maršovice, výpočtová výška 1,5m)



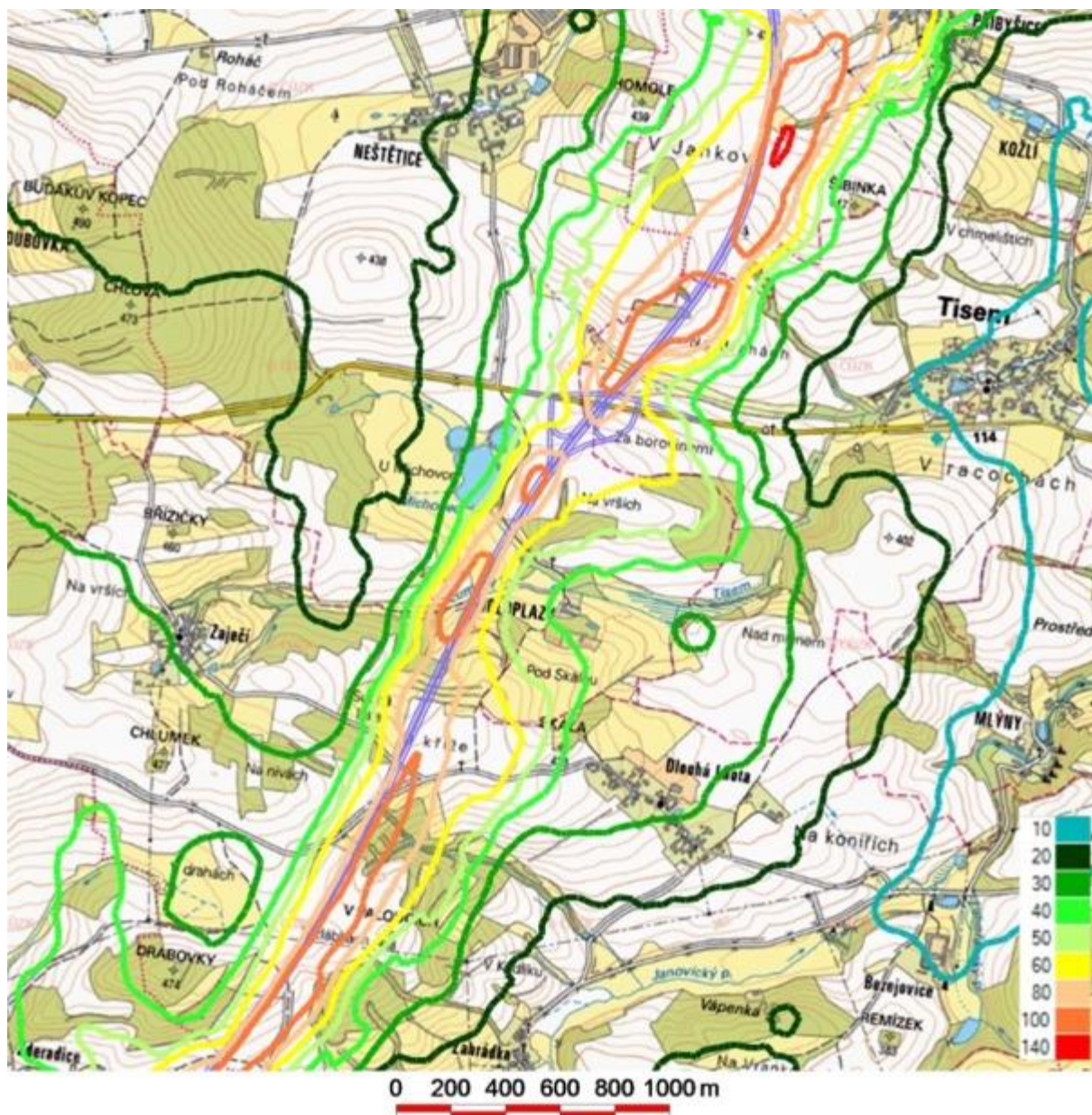
Obr.č.30 Příspěvky průměrných ročních koncentrací (I_{Hr}) BaP v $\mu\text{g.m}^{-3}$
(Příspěvky od uvažovaných zdrojů, oblast Šebáňovice, výpočtová výška 1,5m)



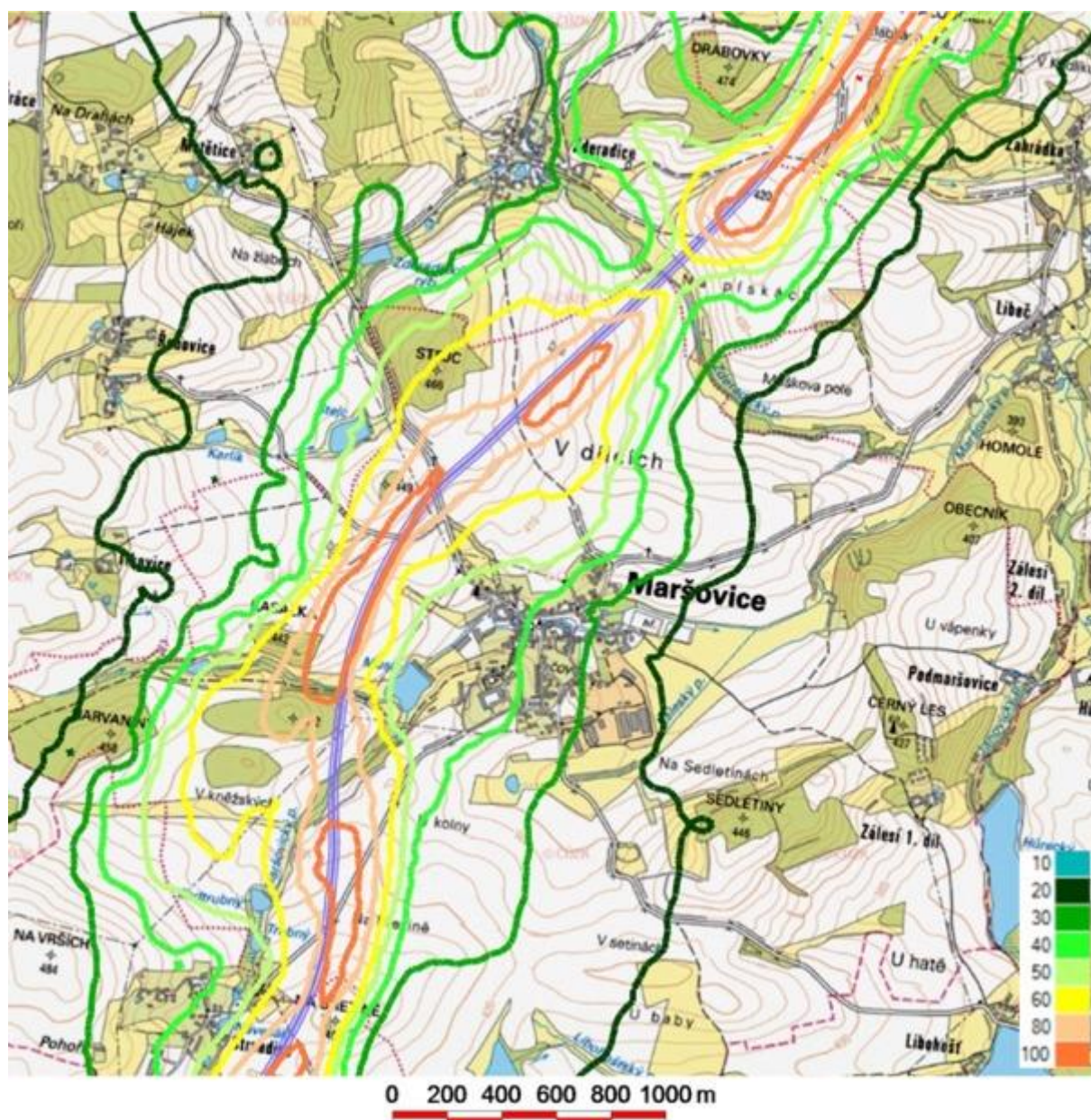
Obr.č.31 Příspěvky průměrných ročních koncentrací (I_{Hr}) BaP v $\mu\text{g.m}^{-3}$
(Příspěvky od uvažovaných zdrojů, oblast MÚK Voráčice, výpočtová výška 1,5m)



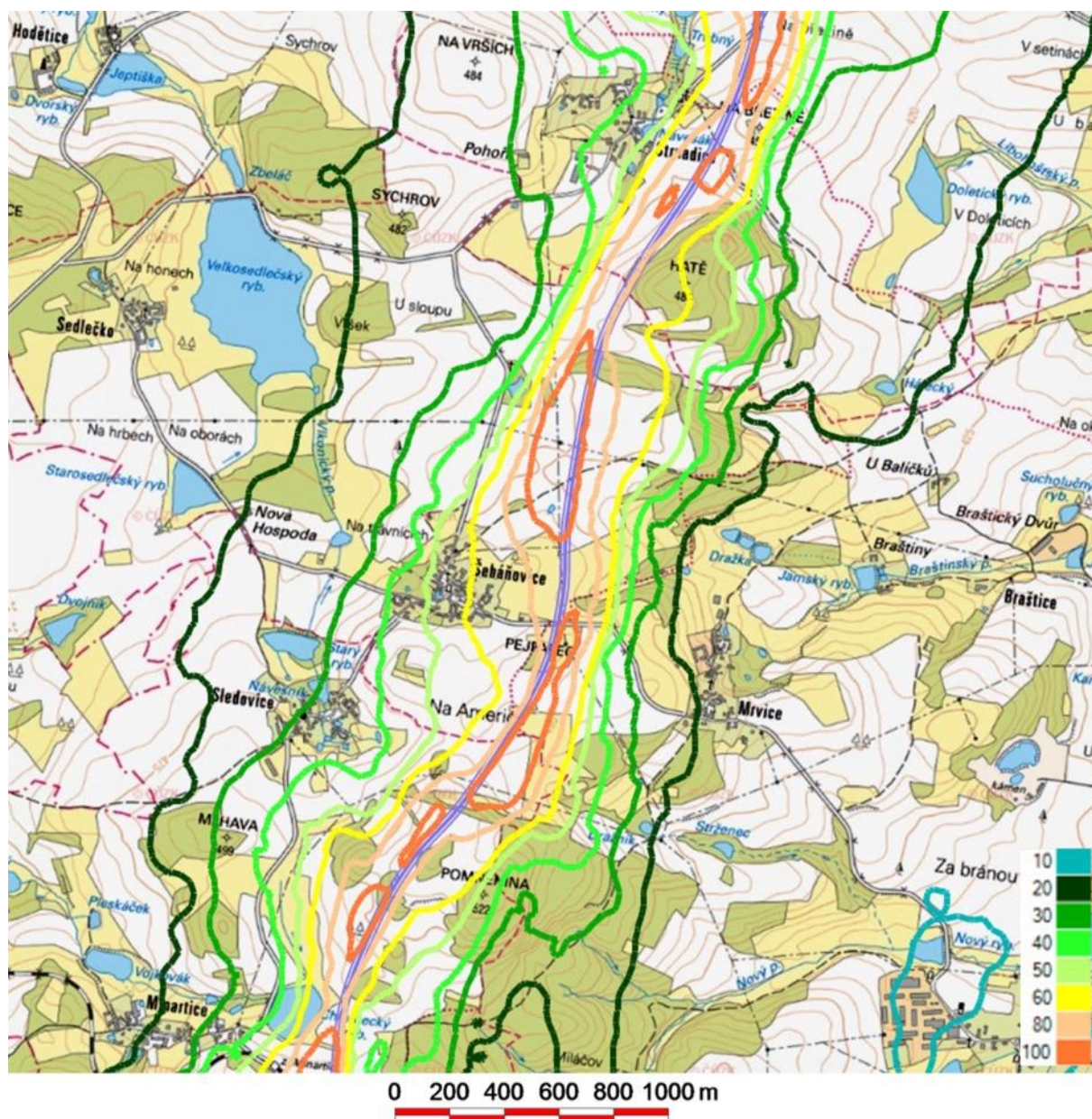
Obr.č.32 Příspěvky maximálních hodinových koncentrací (Ihk) NO₂ v µg.m⁻³
(Příspěvky od uvažovaných zdrojů, oblast Vácovice, výpočtová výška 1,5m)



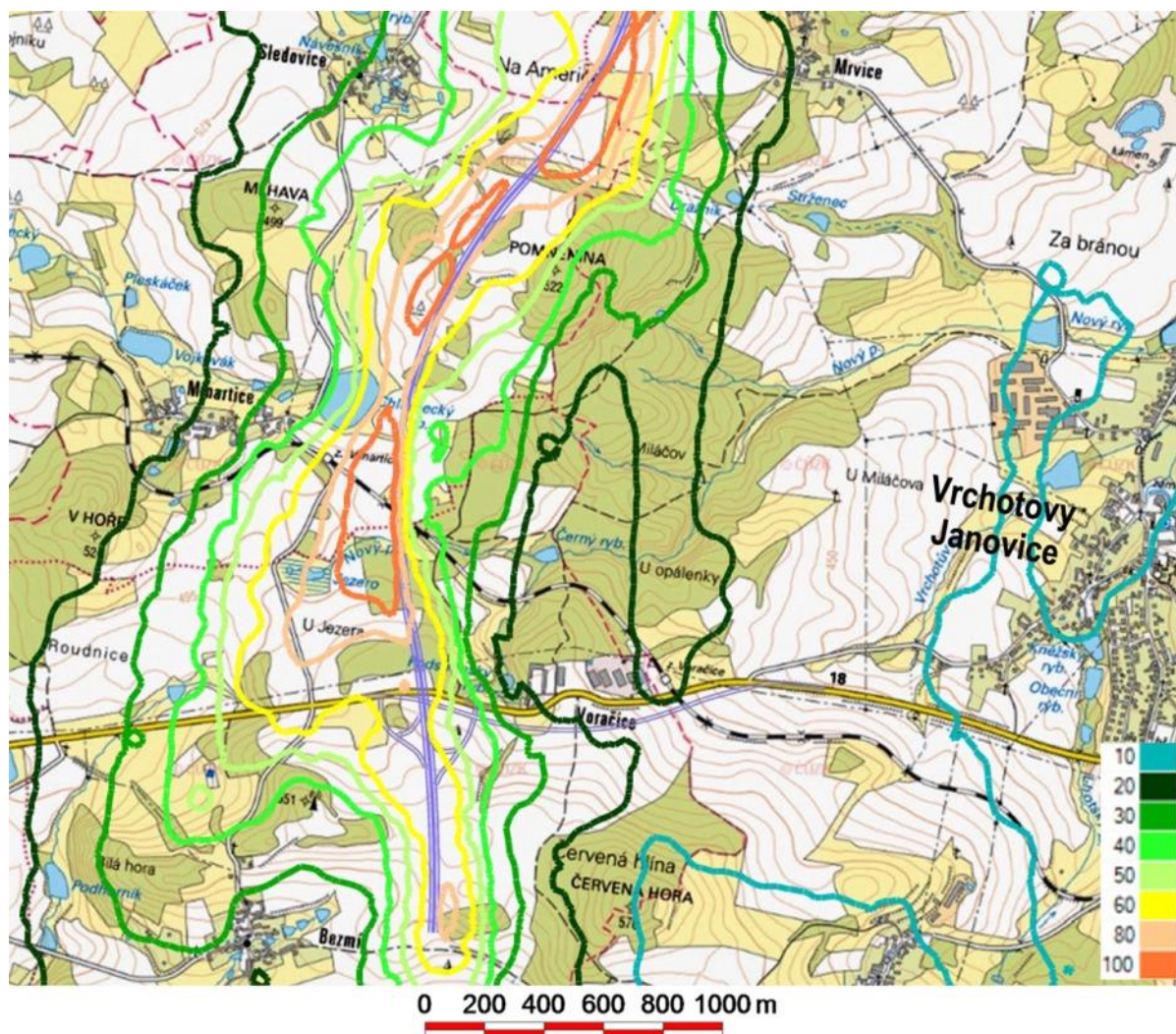
Obr.č.33 Příspěvky maximálních hodinových koncentrací (IHK) NO₂ v µg.m⁻³
(Příspěvky od uvažovaných zdrojů, oblast MÚK Neštětice, výpočtová výška 1,5m)



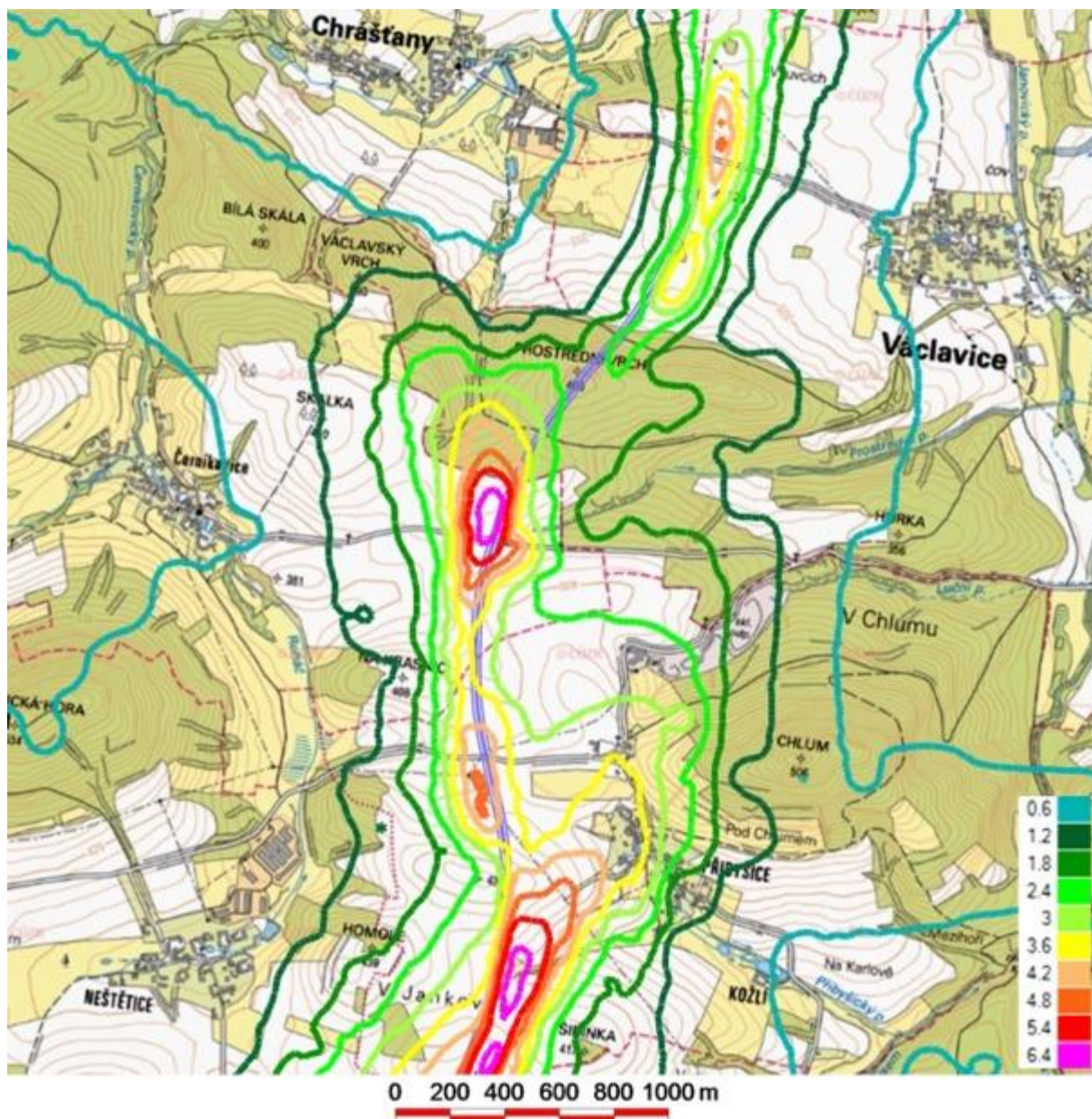
Obr.č.34 Příspěvky maximálních hodinových koncentrací (IHK) NO₂ v µg.m⁻³
(Příspěvky od uvažovaných zdrojů, oblast Maršovice, výpočtová výška 1,5m)



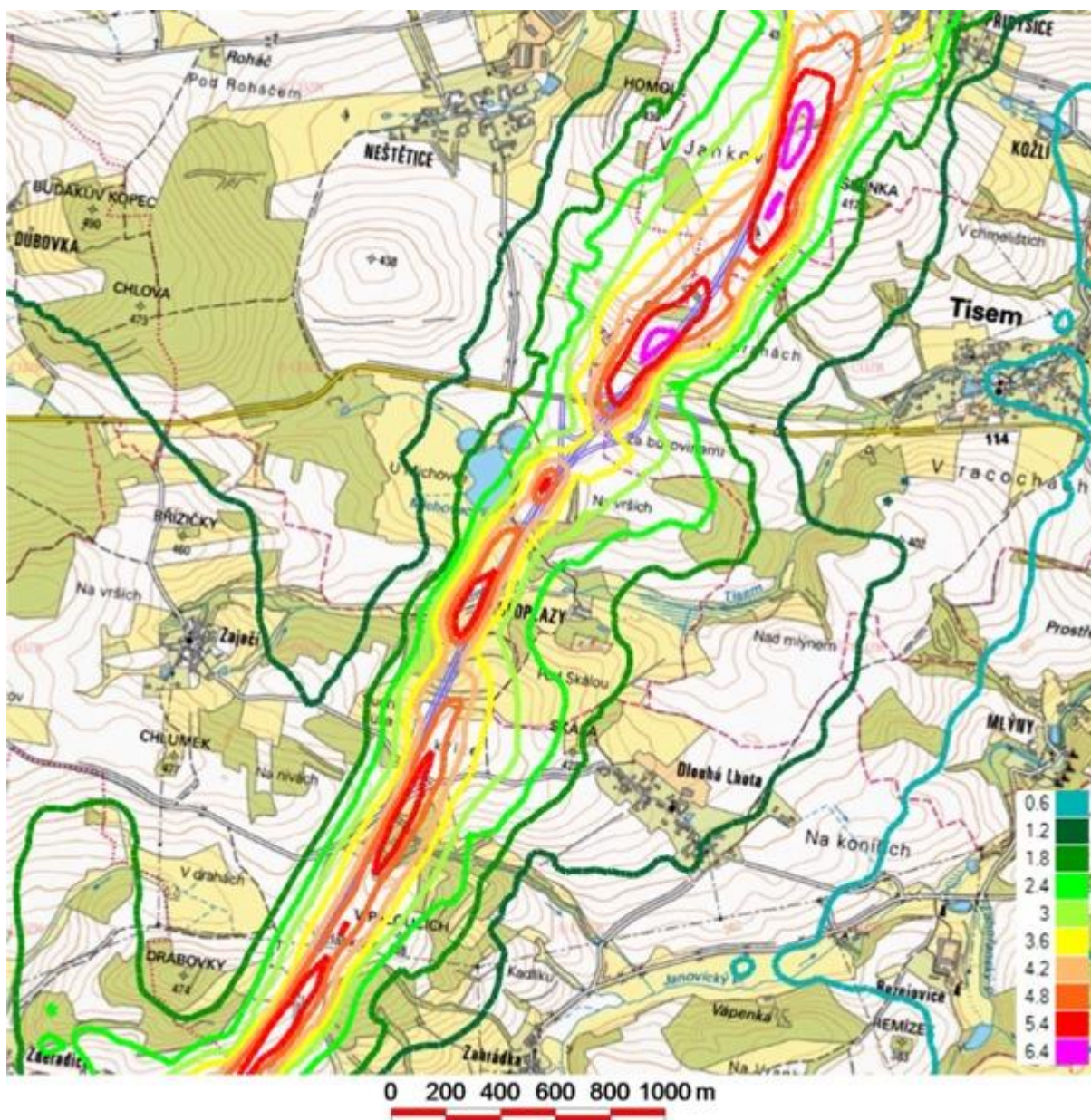
Obr.č.35 Příspěvky maximálních hodinových koncentrací (IHK) NO₂ v µg.m⁻³
(Příspěvky od uvažovaných zdrojů, oblast Šebáňovice, výpočtová výška 1,5m)



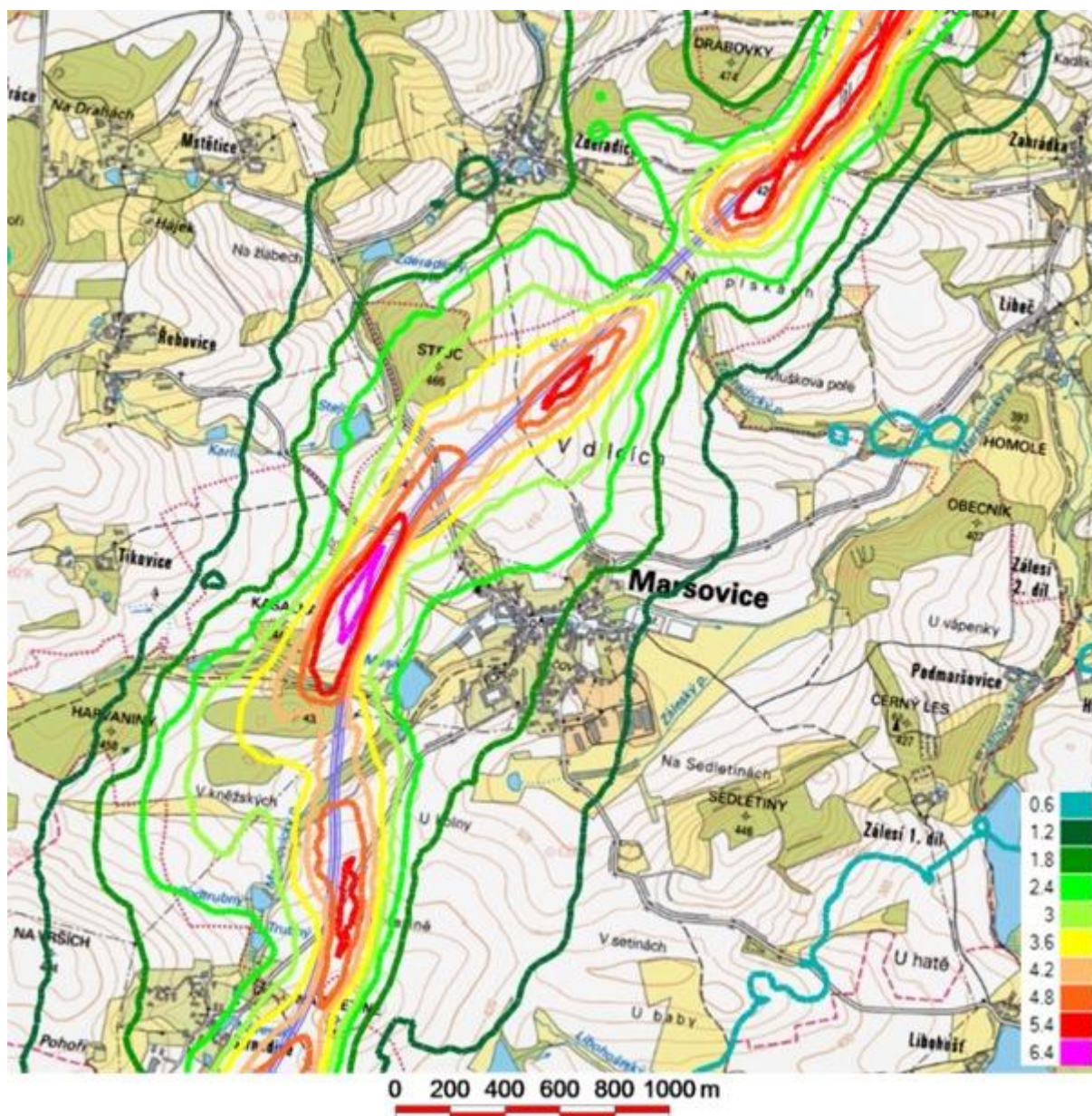
Obr.č.36 Příspěvky maximálních hodinových koncentrací (IHK) NO₂ v µg.m⁻³
(Příspěvky od uvažovaných zdrojů, oblast MÚK Voráčice, výpočtová výška 1,5m)



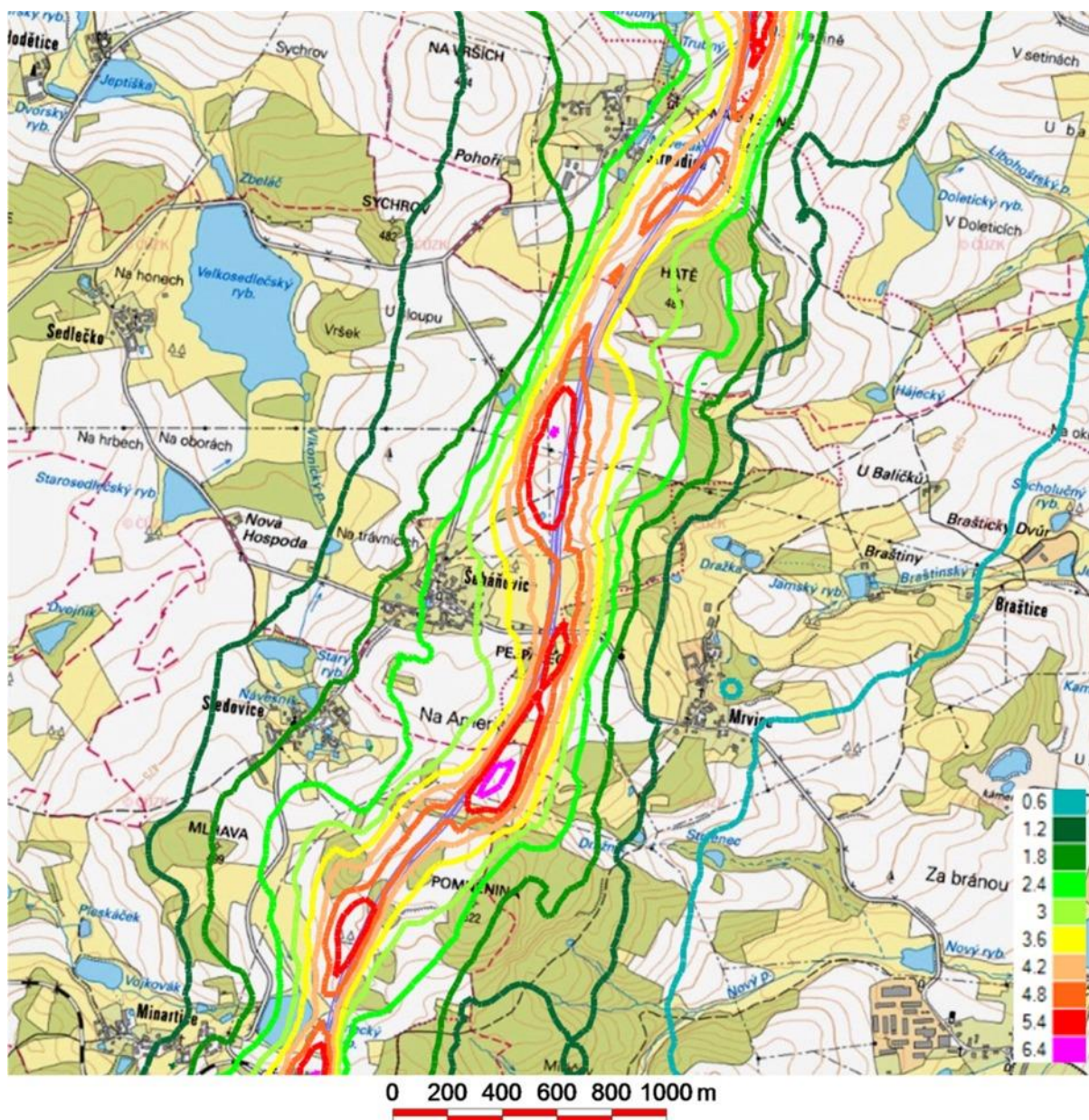
Obr.č. 37 Příspěvky maximálních denních koncentrací (IH24) PM_{10} v $\mu\text{g.m}^{-3}$
(Příspěvky od uvažovaných zdrojů, oblast Václavice, výpočtová výška 1,5m)



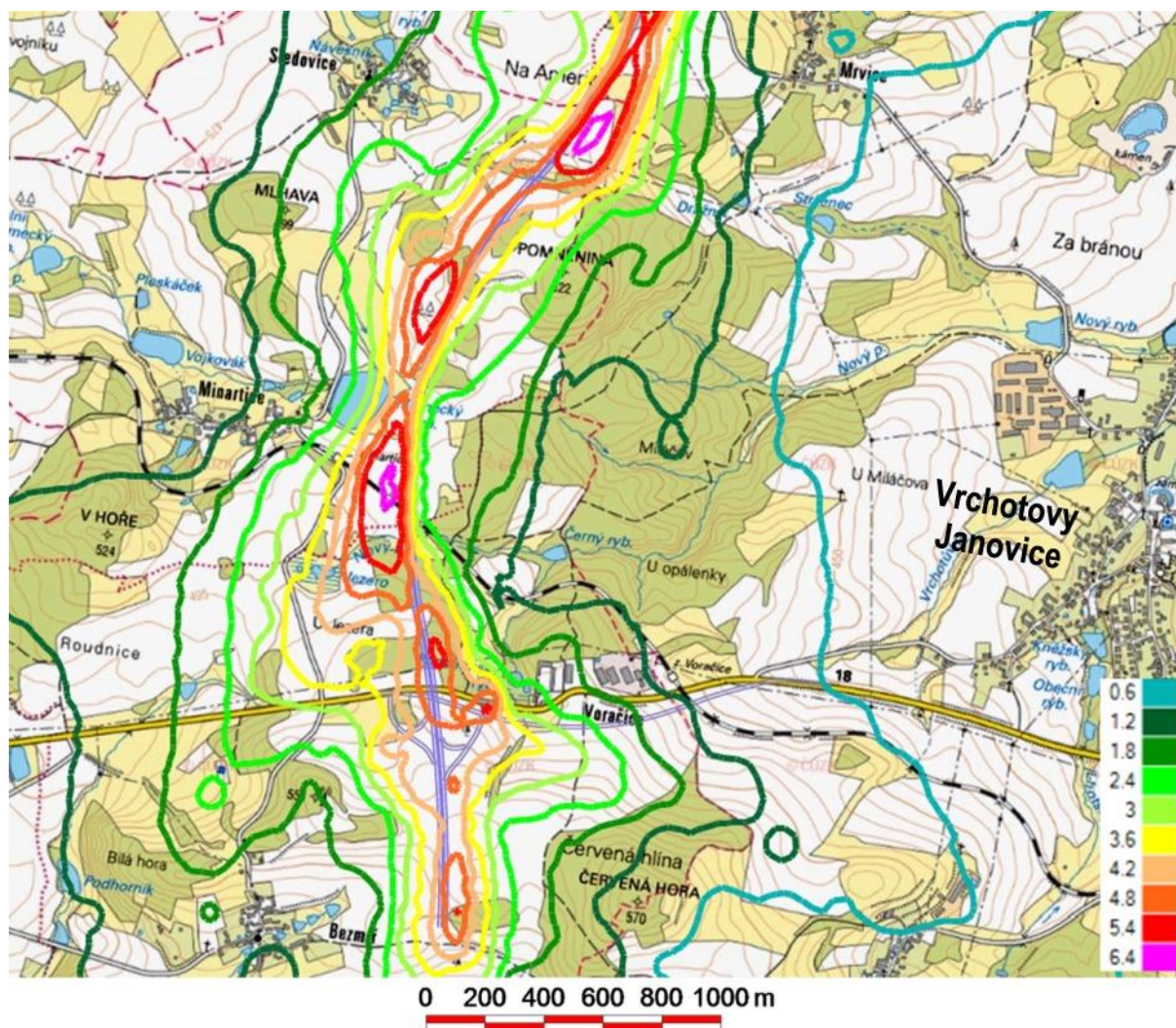
Obr.č. 38 Příspěvy maximálních denních koncentrací (IH24) PM₁₀ v µg.m⁻³
(Příspěvy od uvažovaných zdrojů, oblast MÚK Neštětice, výpočtová výška 1,5m)



Obr.č. 39 Příspěvky maximálních denních koncentrací (IH24) PM₁₀ v $\mu\text{g.m}^{-3}$
(Příspěvky od uvažovaných zdrojů, oblast Maršovice, výpočtová výška 1,5m)



Obr.č. 40 Příspěvky maximálních denních koncentrací (IH24) PM₁₀ v µg.m⁻³
(Příspěvky od uvažovaných zdrojů, oblast Šebáňovice, výpočtová výška 1,5m)



Obr.č. 41 Příspěvky maximálních denních koncentrací (IH24) PM₁₀ v µg.m⁻³
(Příspěvky od uvažovaných zdrojů, oblast MÚK Voráčice, výpočtová výška 1,5m)